

МІНІСТЕРСТВО ОСВІТИ І НАУКИ УКРАЇНИ
СУМСЬКИЙ ДЕРЖАВНИЙ УНІВЕРСИТЕТ
КАФЕДРА ЕЛЕКТРОЕНЕРГЕТИКИ

КВАЛІФІКАЦІЙНА РОБОТА БАКАЛАВРА

на тему:

«Вибір елементів високовольтних підстанцій та близькавозахисту»

Спеціальності 6.141 «Електроенергетика, електротехніка та електромеханіка»

Виконав

студент гр. ЕТдн-61Гл

_____ С.С. Ошомок

Керівник

к.ф.-м.н., доцент

_____ М.В. Петровський

Суми – 2020

РЕФЕРАТ

с. 71, рис. 15, табл. 20.

Бібліографічний опис: Ошомок С.С. Вибір елементів високовольтних підстанцій та блискавкозахисту [Текст]: робота на здобуття кваліфікаційного ступеня бакалавр; спеціальність: 141 «Електроенергетика, електротехніка та електромеханіка» / С.С. Ошомок; керівник М.В. Петровський. – Суми: СумДУ, 2020. – 71 с.

Ключові слова:

лінія електропередавання, трансформатор, напруга, струм, вимикач;

линия электропередачи, трансформатор, напряжение, ток, выключатель;

power line, transformer, voltage, current, circuit breaker.

Об'єкт дослідження: електрична мережа високої напруги.

Короткий огляд.

Зроблений розрахунок нормального режиму роботи замкнутої електричної мережі. Обрана напруга мережі, перерізи проводів ліній електропередач, а також типи трансформаторів на підстанціях. Для обраної підстанції проведена перевірка правильності вибору номінальної потужності встановлених трансформаторів. Здійснений вибір високовольтних апаратів розподільчого пристрою, вимірювальних трансформаторів струму й напруги. Для трансформаторів підстанції виконаний розрахунок релейного захисту: поздовжнього диференційного струмового захисту та максимального струмового захисту з комбінованим пуском по напрузі. Проведений розрахунок блискавкозахисту понижувальної підстанції, що виконаний у вигляді стрижневих блискавковідводів.

Змн.	Арк.	№ докум.	Підпис	Дата	БР 5.6.141.745 ПЗ	Аркуш
						3

3MICT

ВСТУП.....	6
1. РОЗРАХУНОК РЕЖИМІВ РОБОТИ ЕЛЕКТРИЧНОЇ МЕРЕЖІ	8
1.1 Вихідні дані для виконання бакалаврської роботи.....	8
1.2 Вибір напруг ліній.....	9
1.3 Вибір типу проводів повітряних ліній	10
1.4 Розрахунок потужностей трансформаторів підстанцій	12
1.5 Розрахунок навантажень вузлів з урахуванням трансформаторів.....	15
1.6 Розрахунок потужностей на ділянках мережі з урахуванням втрат потужності в трансформаторах.....	17
1.7 Визначення напруг у вузлах навантаження.....	19
1.8 Розрахунок післяаварійного режиму	21
2. РОЗРАХУНОК ЕЛЕКТРИЧНОЇ ЧАСТИНИ ПІДСТАНЦІЇ	25
2.1 Вибір силових трансформаторів та їх перевірка за графіком навантаження	25
2.2 Розрахунок струмів короткого замикання.....	27
2.3 Вибір захисної та комутаційної апаратури.....	30
2.4 Вибір збірних шин.....	33
2.5 Вибір вимірювальних трансформаторів струму та напруги.....	38
2.6 Обґрунтування схеми електричних з'єднань підстанції	45

Зм.	Арк.	№ докум.	Підпис	Дата	БР 5.6.141.745 ПЗ	Літ.	Лист	Листів
Розробців		Ошомок С.С.			Вибір елементів високовольтних			
Керівник		Петровський М.В.			підстанцій та бліскавкохисту.		4	71
Консульт.								
Н.контроль					Пояснювальна записка.			
Завітвер.		Лебединський І.Л.						

2.7 Вибір трансформаторів власних потреб	47
2.8 Компонування розподільних пристроїв на боці 220 кВ.....	49
2.9 Компонування розподільних пристроїв на боці 10кВ.....	50
3 РОЗРАХУНОК РЕЛЕЙНОГО ЗАХИСТУ ТРАНСФОРМАТОРА	51
3.1 Визначення параметрів, необхідних для розрахунків захисту трансформатора	51
3.2 Розрахунок струмів короткого замикання.....	51
3.3 Розрахунок поздовжнього диференціального струмового захисту та вибір типу реле	54
3.4 Вибір уставок реле ДЗТ-11.....	56
3.5 Розрахунок максимального струмового захисту з комбінованим пуском по напрузі	59
4. РОЗРАХУНОК ЗОН ЗАХИСТУ СТРИЖНЕВИХ БЛІСКАВКОВІДВОДІВ ВРП	62
ВИСНОВКИ.....	69
СПИСОК ЛІТЕРАТУРИ.....	70

Змн.	Арк.	№ докум.	Підпис	Дата	БР 5.6.141.745 П3	Аркуш
						5

ВСТУП

В умовах безперервного розвитку промисловості країни з'являється усе більше й більше нових підприємств, які вносять вклад у збільшення енергоспоживання. Слід також зауважити, що зі збільшенням числа енергоспоживаючих об'єктів, розширяється щільність географічного розташування споживачів електричної енергії. У зв'язку із цим з'являється потреба в розширенні існуючих мереж і в створенні нових. Зростаюча кількість енергоспоживаючих об'єктів веде до збільшення потужностей, які передаються по електричних мережах. Одним із найголовніших завдань сьогодні є економічне використання існуючого електричного обладнання й розробка нового з поліпшеними параметрами.

Виконання бакалаврської роботи необхідно з метою:

- придбання досвіду аналізу отриманих результатів, формування висновків і публічного захисту виконаної роботи;
- формування навичок використання отриманих знань, під час розв'язання конкретних практичних і науково-технічних задач;
- придбання досвіду виконання технічної документації пояснюальної записки й креслень відповідно до умов діючих стандартів;
- систематизації, закріплення й поглиблення теоретичних і практичних знань по загальнотехнічних і спеціальних дисциплінах за напрямком професійної підготовки.

У процесі виконання бакалаврської роботи необхідно вирішити такі задачі:

1. За заданими навантаженнями і довжинами ліній вибрati напругу мережі.
 2. За напругами мережі й навантаженнями вибрati тип проводів повітряних ліній.
 3. За напругами мережі й навантаженнями вибрati трансформатори.
 4. Визначити питомі параметри ЛЕП і каталожні дані трансформаторів.
- Виконати розрахунки параметрів схеми заміщення лінії й трансформаторів. Визначити приведені до сторони ВН навантаження трансформаторів (з урахуванням втрат в обмотках трансформаторів).

Змн.	Арк.	№ докум.	Підпис	Дата	БР 5.6.141.745 П3	Аркуш
						6

5. Скласти розрахункову схему заміщення мережі й визначити розрахункові навантаження вузлів мережі (з урахуванням втрат у гілці намагнічування трансформаторів і реактивної потужності, яка генерується лініями).

6. Виконати розрахунки нормального режиму замкненої мережі (усі лінії включені в роботу) для двох випадків: режим максимального навантаження (задані) і режим мінімального навантаження (прийняти рівною 50% від заданої). Визначити напруги у вузлах мережі, втрати напруги й втрати потужності в мережі. Виконати аналіз отриманих результатів.

7. При необхідності запропонувати способи регулювання напруги у вузлах навантаження.

8. Для обраної підстанції, яка входить до складу розглянутої мережі, виконати перевірку вибору потужності силових трансформаторів, установленіх на підстанції.

9. Розрахувати струми короткого замикання для забезпечення захисту підстанції.

10. Вибрати за умовами роботи високовольтні апарати розподільних пристрій підстанції й перевірити їх на можливість спрацьовування в умовах короткого замикання.

11. Виконати розрахунки релейного захисту високовольтної повітряної лінії, побудувати карту селективності.

12. Провести розрахунок блискавкоахисту захисного ВРП.

13. Зробити висновки про результати виконаних розрахунків.

Змн.	Арк.	№ докум.	Підпис	Дата

БР 5.6.141.745 П3

Аркуш

1. РОЗРАХУНОК РЕЖИМІВ РОБОТИ ЕЛЕКТРИЧНОЇ МЕРЕЖІ

1.1 Вихідні дані для виконання бакалаврської роботи

Згідно з отриманим завданням, необхідно розрахувати електричну мережу, однолінійна електрична схема якої наведена на рис. 1.1.

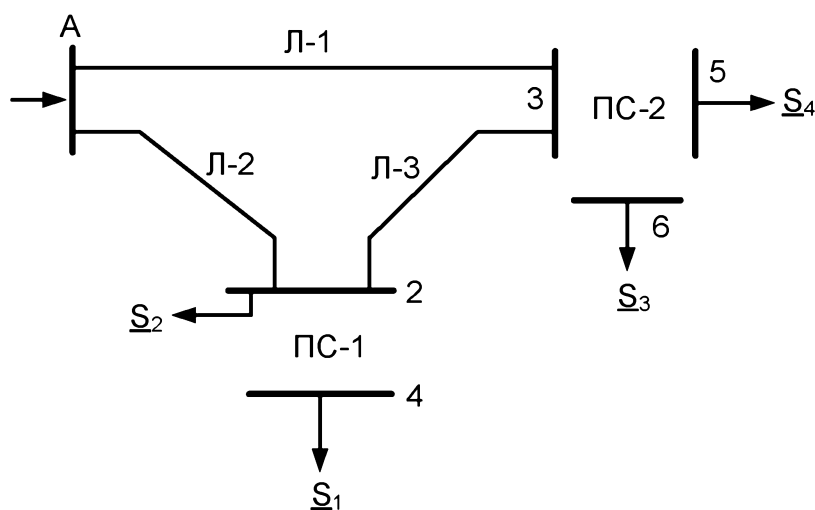


Рисунок 1.1 – Вихідна однолінійна електрична схема з'єднань заданої електричної мережі

Довжини ліній і потужності навантажень електричної мережі наведені в таблиці 1.1.

Таблиця 1.1 – Вихідні дані електричної мережі

Довжина ПЛ, км			Потужності навантажень вузлів, МВА			
Л-1	Л-2	Л-3	\underline{S}_1	\underline{S}_2	\underline{S}_3	\underline{S}_4
40	60	40	$\frac{45+j20}{I}$	$\frac{50+j30}{II}$	$\frac{20+j10}{II}$	$\frac{30+j15}{III}$

1.2 Вибір напруг ліній

Приймемо навантаження вузла 3 рівному навантаженню вузлів 5 і 6, навантаження вузла 2 рівному навантаженню вузлів 2 і 4. Зобразимо замкнену мережу, що складається з ліній Л-1, Л-2, Л-3 (рис. 1.2). Визначимо розрахункові навантаження вузлів 2 і 3.

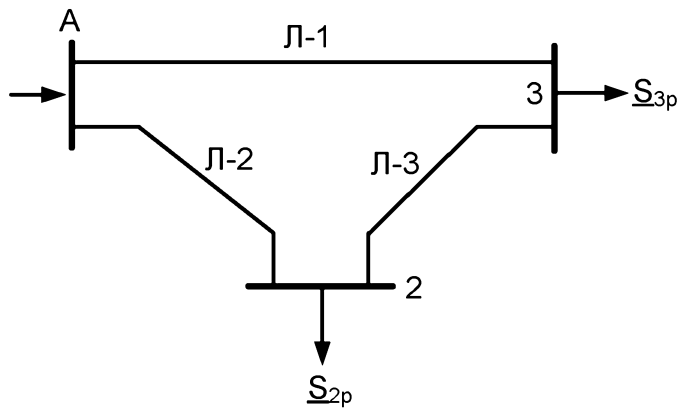


Рисунок 1.2 – Замкнена мережа

$$\underline{S}_{2P} = \underline{S}_1 + \underline{S}_2 = 90 + j50 \text{MVA};$$

$$\underline{S}_{3P} = \underline{S}_3 + \underline{S}_4 = 50 + j25 \text{MVA}.$$

Для визначення в замкненій частині мережі розподілу потужностей можна її умовно розділити у джерелу живлення А і представити у вигляді лінії із двостороннім живленням (рис. 1.3). Позначимо потужності на ділянках мережі.

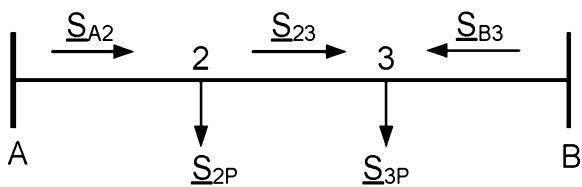


Рисунок 1.3 – Розімкнута мережа

Визначаємо потужності на ділянках розімкнутої мережі

Змн.	Арк.	№ докум.	Підпис	Дата	БР 5.6.141.745 П3	Аркуш
						9

$$\underline{S}_{A2} = \frac{\underline{S}_{2P}(l_{23} + l_{3B}) + \underline{S}_{3P}(l_{3B})}{(l_{23} + l_{3B} + l_{A2})} = 68,57 + j35,71 \text{ МВА}$$

$$\underline{S}_{23} = \underline{S}_{A2} - \underline{S}_{2P} = -26,43 - j14,29 \text{ МВА}$$

$$\underline{S}_{B3} = \frac{\underline{S}_{2P}(l_{A2}) + \underline{S}_{3P}(l_{23} + l_{A2})}{(l_{23} + l_{3B} + l_{A2})} = 76,43 + j39,29 \text{ МВА}.$$

Складемо рівняння балансу потужності

$$\underline{S}_{3P} + \underline{S}_{2P} = \underline{S}_{A2} + \underline{S}_{B3}$$

$$145 + j75 = 145 + j75.$$

Баланс потужності зійшовся.

Потужність ділянки 2-3 вийшла від'ємною, тому точка 2 є точкою потокорозділу.

1.3 Вибір типу проводів повітряних ліній

Визначаємо напруги на ділянках мережі (рис. 1.3) по формулі Ілларіонова:

$$U_n = \frac{1000}{\sqrt{\frac{500}{L} + \frac{2500}{P_n}}}.$$

Таблиця 1.2 – Напруги на ділянках мережі

Номер ділянки	Л-1	Л-2	Л-3
Довжина ділянки, км	40	60	40
Напруга ділянки, кВ	148,7	149,4	96,6

Приймаємо напругу електричної мережі 220 кВ.

Визначаємо струми проводів ліній

Змн.	Арк.	№ докум.	Підпис	Дата	БР 5.6.141.745 П3	Аркуш
						10

$$I = \frac{S_{\text{л}}}{\sqrt{3}U_{\text{л}}}.$$

Таблиця 1.3 – Струми на ділянках мережі

Номер ділянки	Л-1	Л-2	Л-3
Струм, А	225,5	202,9	78,9

У якості проводів для всіх ліній приймаємо сталеалюмінієві проводи марки АС-240/32.

Користуючись довідковими даними [2], відповідно із шкалою стандартних перетинів, а також з урахуванням можливого перевантаження ліній при роботі в аварійному режимі, вибираємо тип проводу дляожної лінії табл. 1.4.

Таблиця 1.4 – Марка й параметри проводів

Номер ділянки	Л-1	Л-2	Л-3
Марка й перетин проводу	AC-240/32	AC-240/32	AC-240/32
Параметри проводів			
r_0 , Ом/км	0,121	0,121	0,121
x_0 , Ом/км	0,435	0,435	0,435
$b_0 \cdot 10^{-6}$, См/км	2,6	2,6	2,6

Перевіряємо обрані проводи в лініях за умовою корони.

Згідно ПУЕ, мінімально допустимий перетин по короні для ліній напругою 220 кВ становить 240 мм².

Таким чином, дляожної з ліній ця умова виконана.

Знайдемо параметри ліній електричної мережі.

Значення активних і реактивних опорів ліній, а також величина зарядної потужності розраховуються по формулах:

$$R_{\text{л}} = r_0 \cdot l_{\text{л}}; \quad X_{\text{л}} = x_0 \cdot l_{\text{л}}; \quad \frac{jQ_{\text{л}}}{2} = U_{\text{ном}}^2 \cdot \frac{b_0 \cdot l_{\text{л}}}{2}.$$

Змн.	Арк.	№ докум.	Підпис	Дата	БР 5.6.141.745 П3	Аркуш

Значення активних та реактивних опорів ліній, а також величина зарядної потужності наведені в таблиці 1.5.

Таблиця 1.5 – Розрахункові параметри повітряної лінії мережі

Лінія	Л-1	Л-2	Л-3
R_n , Ом	4,84	7,26	4,84
X_n , Ом	17,4	26,1	17,4
$\frac{jQ_n}{2}$, МВАр	2,52	3,78	2,52

1.4 Розрахунок потужностей трансформаторів підстанцій

За напругами мережі й навантаженнями вибираємо трансформатори.

На підстанції ПС-1, зважаючи на те, що є споживачі, які відносяться до I категорії надійності електропостачання, приймаємо установку 2-х двохобмоточних трансформаторів з напругою високої сторони 220 кВ.

Розрахункова потужність кожного трансформатора:

$$S_T = \frac{S_1}{1,4} = \frac{\sqrt{45^2 + 20^2}}{1,4} = 35,17 \text{ МВА.}$$

За напругою та потужністю навантаження, використовуючи [2], вибираємо трансформатор ТРДН-40000/220.

Визначаємо коефіцієнт завантаження трансформатора у нормальному режимі:

$$K_3 = \frac{S_1}{2 \cdot S_T} = \frac{\sqrt{45^2 + 20^2}}{2 \cdot 40} = 0,62.$$

Змн.	Арк.	№ докум.	Підпис	Дата	БР 5.6.141.745 П3	Аркуш
						12

Оскільки коефіцієнт завантаження менше 0,75, то два паралельно працюючі трансформатори ТРДН-40000/220 задовольняють пред'явленим вимогам.

Таблиця 1.6 – Каталожні дані трансформатора ТРДН-40000/220

Тип	S _{ном} , МВА	Межі регулювання	Каталожні дані					Розрахункові дані			
			U _{ном} обмоток, кВ		U _k , %	ΔP _k , кВт	ΔP _x , кВт	I _x , %	R _T , Ом	X _T , Ом	ΔQ _x , кВАр
			ВН	НН							
ТРДН-40000/220	40	±8*1,5	230	11/11	12	170	50	0,9	5,6	158,7	360

На підстанції ПС-2, зважаючи на те, що є споживачі що відносяться до II категорії надійності електропостачання, приймаємо установку 2-х трьохобмоточних трансформаторів з напругою високої сторони 220 кВ.

Розрахункова потужність кожного трансформатора:

$$S_T = \frac{S_3 + S_4}{1,4} = \frac{\sqrt{50^2 + 25^2}}{1,4} = 39,93 \text{ МВА} .$$

За напругою й потужністю навантаження, використовуючи [2], вибираємо трансформатор ТДТН-40000/220.

Визначаємо коефіцієнт завантаження трансформаторів у нормальному режимі:

$$K_3 = \frac{S_3 + S_4}{2 \cdot S_T} = \frac{\sqrt{50^2 + 25^2}}{2 \cdot 40} = 0,7 .$$

Оскільки коефіцієнт завантаження дорівнює 0,7, то трансформатор ТДТН-40000/220 задовольняє пред'явленим вимогам.

Змн.	Арк.	№ докум.	Підпис	Дата	БР 5.6.141.745 П3	Аркуш
						13

Таблиця 1.7 – Каталожні дані трансформатора ТДТН-40000/220

Тип	$S_{\text{ном}}$, МВА	Межі регулювання	Каталожні дані					
			$U_{\text{ном}}$ обмоток, кВ			$U_k, \%$		
			ВН	СН	НН	В-С	В-Н	С-Н
ТДТН-40000/220	40	$\pm 12 \cdot 1\%$	230	38.5	11	12.5	22	9.5

Продовження таблиці 1.7

Тип	Каталожні дані				Розрахункові дані						$\Delta Q_x, \text{kVar}$	
	$\Delta P_k, \text{kWt}$			$\Delta P_x, \text{kWt}$	$I_x, \%$	$R_t, \text{Ом}$			$X_t, \text{Ом}$			
	В-С	В-Н	С-Н			ВН	СН	НН	ВН	СН	НН	
ТДТН-40000/220	220	-	-	55	1.1	3.6	3.6	3.6	165	0	125	440

Складаємо однолінійну схему заміщення електричної мережі з урахуванням трансформаторів підстанцій

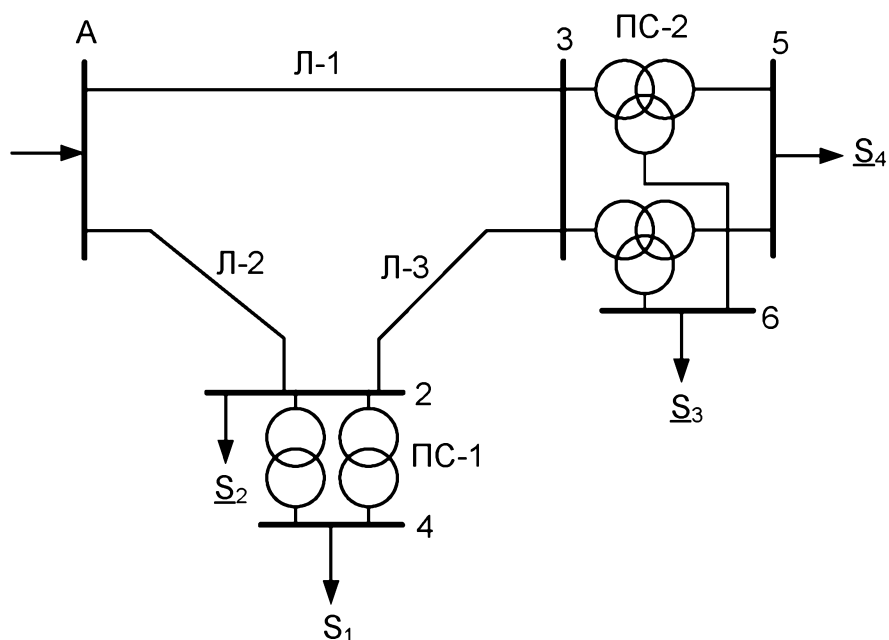


Рисунок 1.4 – Однолінійна схема електричної мережі з урахуванням трансформаторів підстанцій

1.5 Розрахунок навантажень вузлів з урахуванням трансформаторів

Визначаємо розрахункову потужність на високій стороні ПС-1 з урахуванням втрат в обмотках трансформаторів при максимальному навантаженні. Зображену схему заміщення двох двохобмоточкових трансформаторів, включених паралельно, і розраховуємо потужність

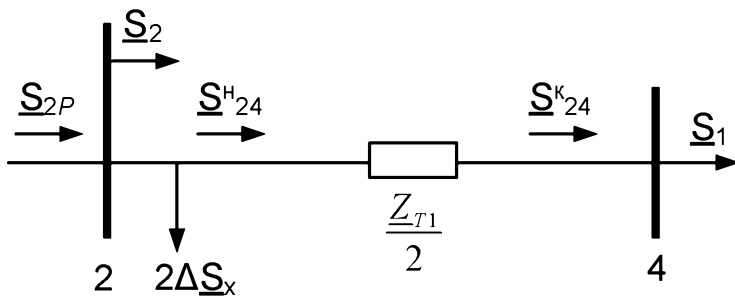


Рисунок 1.5 – Схема заміщення підстанції ПС-1

Приведене до сторони ВН трансформаторної підстанції Т-1:

$$\begin{aligned}
 \underline{S}'_{2P} = & (P_{нар1} + 2\Delta P_{x1} + \frac{P_{нар1}^2 + Q_{нар1}^2}{U_{ном}^2} \cdot \frac{R_{T1}}{2}) + \\
 & + j(Q_{нар1} + 2\Delta Q_{x1} + \frac{P_{нар1}^2 + Q_{нар1}^2}{U_{ном}^2} \cdot \frac{X_{T1}}{2} - \frac{Q_{CA2}}{2} - \frac{Q_{C23}}{2}); \\
 \underline{S}'_{2P} = & \left(45 + 2 \cdot 0,05 + \frac{45^2 + 20^2}{220^2} \cdot \frac{5,6}{2} \right) + \\
 & + j \left(20 + 2 \cdot 0,36 + \frac{45^2 + 20^2}{220^2} \cdot \frac{158,7}{2} - 3,78 - 2,52 \right) = 45,24 + j18,4 \text{ МВА.}
 \end{aligned}$$

Визначаємо розрахункову потужність у вузлі 2 з урахуванням потужності \underline{S}_2 :

Змн.	Арк.	№ докум.	Підпис	Дата

$$\underline{S}_{2P} = \underline{S}'_{2P} + \underline{S}_2 = 95,24 + j48,4 \text{ МВА.}$$

Визначаємо розрахункову потужність у вузлі 1 з урахуванням втрат в обмотках трансформаторів при максимальному навантаженні. Зображену схему заміщення двох триобмоткових трансформаторів, включених паралельно, її розраховуємо потужність у вузлі 1.

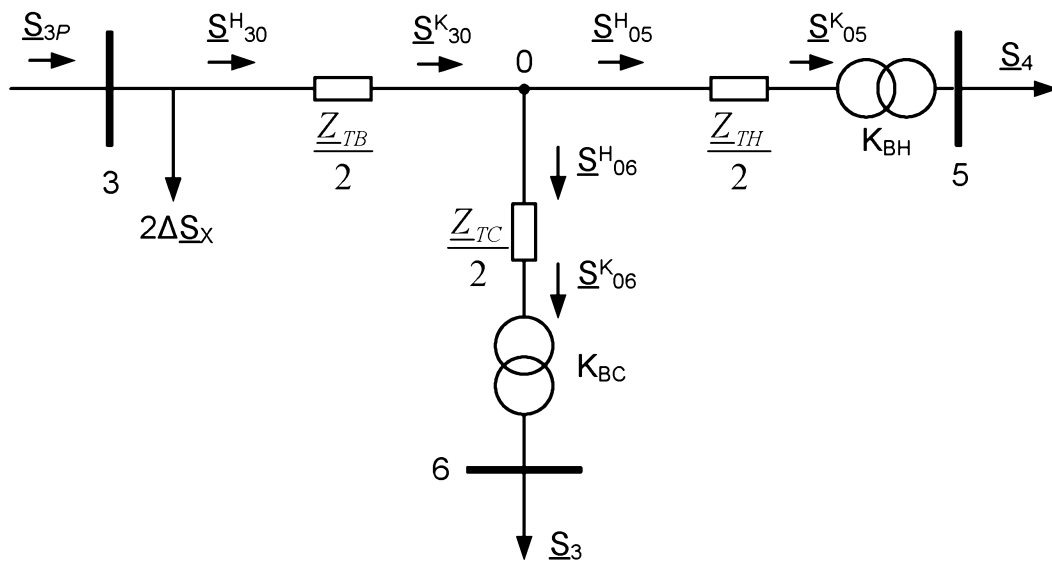


Рисунок 1.6 – Схема заміщення підстанції ПС-2

Приведене до сторони ВН трансформаторної підстанції Т-2:

$$\begin{aligned}\underline{S}'_{3P} = & (P_{нагр4} + P_{нагр3} + \frac{P_{нагр4}^2 + Q_{нагр4}^2}{U_{ном}^2} \cdot R_{T2H} + \frac{P_{нагр3}^2 + Q_{нагр3}^2}{U_{ном}^2} \cdot R_{T2C}) + \\ & + j(Q_{нагр4} + Q_{нагр3} + \frac{P_{нагр4}^2 + Q_{нагр4}^2}{U_{ном}^2} \cdot X_{T2H} + \frac{P_{нагр3}^2 + Q_{нагр3}^2}{U_{ном}^2} \cdot X_{T2C});\end{aligned}$$

$$\begin{aligned}\underline{S}'_{3P} = & \left(30 + 20 + \frac{30^2 + 15^2}{220^2} \cdot 3,6 + \frac{20^2 + 10^2}{220^2} \cdot 3,6 \right) + \\ & + j \left(15 + 10 + \frac{30^2 + 15^2}{220^2} \cdot 125 + \frac{20^2 + 10^2}{220^2} \cdot 0 \right) = 50,23 + j29,04 \text{ МВА.}\end{aligned}$$

Змн.	Арк.	№ докум.	Підпис	Дата

$$\begin{aligned}
\underline{S}_{3P} &= \underline{S}'_{3P} + \Delta \underline{S}_{x2} + \frac{\left(\underline{S}'_{3P}\right)^2}{U_{nom}^2} (R_{T2B} + jX_{T2B}) - jQ_{CA3} - jQ_{C23} = \\
&= (50,23 + j29,04) + (0,06 + j0,44) + \frac{50,23^2 + 29,04^2}{220^2} (3,6 + j165) - \\
&\quad - j2,52 - j2,52 = 50,41 + j29,77 \text{ MBA}.
\end{aligned}$$

1.6 Розрахунок потужностей на ділянках мережі з урахуванням втрат потужності в трансформаторах

Визначаємо потужності на ділянках розімкнутої мережі (рис. 1.3) з урахуванням втрат потужності в трансформаторах.

$$\underline{S}_{A2} = \frac{\underline{S}_{2P}(l_{23} + l_{3B}) + \underline{S}_{3P}(l_{3B})}{l_{23} + l_{3B} + l_{A2}} = 62,86 + j33,5 \text{ MBA};$$

$$\underline{S}_{23} = \underline{S}_{A2} - \underline{S}_{2P} = -27,35 - j13,6 \text{ MBA};$$

$$\underline{S}_{B3} = \frac{\underline{S}_{2P}(l_{A2}) + \underline{S}_{3P}(l_{23} + l_{A2})}{l_{23} + l_{3B} + l_{A2}} = 82,76 + j43,03 \text{ MBA}.$$

Складемо рівняння балансу потужності

$$\begin{aligned}
\underline{S}_{3P} + \underline{S}_{2P} &= \underline{S}_{A2} + \underline{S}_{B3}; \\
145,538 + j88,14 &= 145,538 + j88,14.
\end{aligned}$$

Баланс потужності зійшовся.

Потужність ділянки 2-3 вийшла негативною, тому точка 2 є точкою потокорозділу. Складемо схему заміщення електричної мережі з урахуванням потокорозділу.

Змн.	Арк.	№ докум.	Підпис	Дата	БР 5.6.141.745 П3	Аркуш
						17

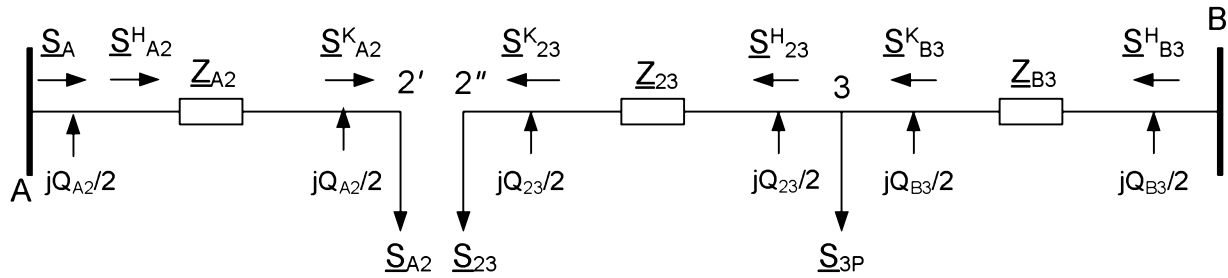


Рисунок 1.7 – Розімкнена мережа

Визначимо потокорозподіл у двох схемах заміщення, наведених на рисунку 1.7.

Визначимо потужність джерела \underline{S}_B :

$$\underline{S}_{23}^K = \underline{S}_{23} = 27,35 + j13,57 \text{ МВА}$$

$$\underline{S}_{23}^H = \underline{S}_{23}^K + \frac{(P_{23}^K)^2 + (Q_{23}^K)^2}{U_H^2} \cdot Z_{23} = 27,44 + j13,9 \text{ МВА}$$

$$\underline{S}_{B3}^K = \underline{S}_{23}^H + \underline{S}_{3P} = 82,76 + j43,03 \text{ МВА}$$

$$\underline{S}_{B3}^H = \underline{S}_{B3}^K + \frac{(P_{B3}^K)^2 + (Q_{B3}^K)^2}{U_H^2} \cdot Z_{B3} = 83,6 + j46,2 \text{ МВА}$$

$$\underline{S}_B = \underline{S}_{B3}^H = 83,6 + j43,64 \text{ МВА}.$$

Визначимо потужність джерела \underline{S}_A :

$$\underline{S}_{A2}^K = \underline{S}_{A2} = 62,86 + j33,5 \text{ МВА}$$

$$\underline{S}_{A2}^H = \underline{S}_{A2}^K + \frac{(P_{A2}^K)^2 + (Q_{A2}^K)^2}{U_H^2} \cdot Z_{A2} = 63,73 + j36,7 \text{ МВА}$$

$$\underline{S}_A = \underline{S}_{A2}^H = 63,73 + j32,3 \text{ МВА}$$

$$\underline{S} = \underline{S}_A + \underline{S}_B = 63,73 + j32,3 + 83,6 + j43,64 = 147,3 + j75,9 \text{ МВА}.$$

Змн.	Арк.	№ докум.	Підпис	Дата	БР 5.6.141.745 П3	Аркуш
						18

1.7 Визначення напруг у вузлах навантаження

Для того, щоб забезпечити виконання умови допустимого спадання напруги на самому віддаленому споживачеві електроенергії, приймаємо напругу на джерелі живлення на 10% більше номінальної напруги мережі: $U_A = 242$ кВ.

Визначимо напругу вузла 2':

$$U_{2'} = \sqrt{\left(U_A - \frac{P_{A2}^H R_{A2} + Q_{A2}^H X_{12}}{U_A} \right)^2 + \left(\frac{P_{A2}^H X_{A2} - Q_{A2}^H R_{A2}}{U_A} \right)^2} = 235,3 \text{ кВ.}$$

Визначимо напругу вузла 2'':

$$U_{2''} = \sqrt{\left(U_3 - \frac{P_{23}^H R_{23} + Q_{23}^H X_{23}}{U_3} \right)^2 + \left(\frac{P_{23}^H X_{23} - Q_{23}^H R_{23}}{U_3} \right)^2} = 235,7 \text{ кВ.}$$

Приймаємо напругу вузла 2 рівною 236,5 кВ.

Визначимо напругу вузла 3:

$$U_3 = \sqrt{\left(U_B - \frac{P_{B3}^H R_{B3} + Q_{B3}^H X_{B3}}{U_B} \right)^2 + \left(\frac{P_{B3}^H X_{B3} - Q_{B3}^H R_{B3}}{U_B} \right)^2} = 237,3 \text{ кВ.}$$

Визначимо напруги на низькій стороні трансформаторних підстанцій, приведені до сторони ВН:

ПС-1

$$U_4^B = \sqrt{\left(U_2 - \frac{P_{24}^H R_{24} + Q_{24}^H X_{24}}{U_2} \right)^2 + \left(\frac{P_{24}^H X_{24} - Q_{24}^H R_{24}}{U_2} \right)^2} = 207,3 \text{ кВ.}$$

Змн.	Арк.	№ докум.	Підпис	Дата	БР 5.6.141.745 П3	Аркуш
						19

ПС-2

$$U_0 = \sqrt{\left(U_3 - \frac{P_{30}^H R_{TB} + Q_{30}^H X_{TB}}{U_3} \right)^2 + \left(\frac{P_{30}^H X_{TB} - Q_{30}^H R_{TB}}{U_3} \right)^2} = 226,1 \text{ кВ.}$$

$$U_6^B = \sqrt{\left(U_0 - \frac{P_{06}^H R_{TC} + Q_{06}^H X_{TC}}{U_0} \right)^2 + \left(\frac{P_{06}^H X_{TC} - Q_{06}^H R_{TC}}{U_0} \right)^2} = 226 \text{ кВ.}$$

$$U_5^B = \sqrt{\left(U_0 - \frac{P_{05}^H R_{TH} + Q_{05}^H X_{TH}}{U_0} \right)^2 + \left(\frac{P_{05}^H X_{TH} - Q_{05}^H R_{TH}}{U_0} \right)^2} = 221,4 \text{ кВ.}$$

Знайдемо реальні напруги на низькій стороні підстанції з урахуванням реального коефіцієнта трансформаторів.

ПС-1

$$U_4 = \frac{U_4^B}{\frac{U_B}{U_H}} = 10,5 \text{ кВ.}$$

ПС-2

$$U_5 = \frac{U_5^B}{\frac{U_B}{U_H}} = 10,6 \text{ кВ,} \quad U_6 = \frac{U_6^B}{\frac{U_B}{U_C}} = 37,8 \text{ кВ.}$$

Таблиця 1.8 – Розрахункові напруги у вузлах навантаження

Номер вузла	4	5	6
Напруга, кВ	10,53	10,59	37,83
Відхилення, %	+5,33	+5,89	+8,08
Положення РПН	-1	-3	-3
Напруга із РПН, кВ	10,37	10,27	36,69

Отримані значення напруг задовольняють вимоги ПУЕ.

Змн.	Арк.	№ докум.	Підпис	Дата	БР 5.6.141.745 П3	Аркуш
						20

1.8 Розрахунок післяаварійного режиму

Вважаючи лінію Л-1 аварійно відключеною, виконуємо розрахунок режиму роботи електричної мережі, схема заміщення якої наведена на рис. 1.8.

Розрахунок навантажень, приведених до ВН трансформаторів при аварійному режимі роботи проводиться за тими ж вихідними параметрами, що й для нормального режиму, тому виконувати повторний перерахунок немає необхідності.

Визначимо потужності на ділянках мережі, що утворені лініями Л-2 та Л-3:

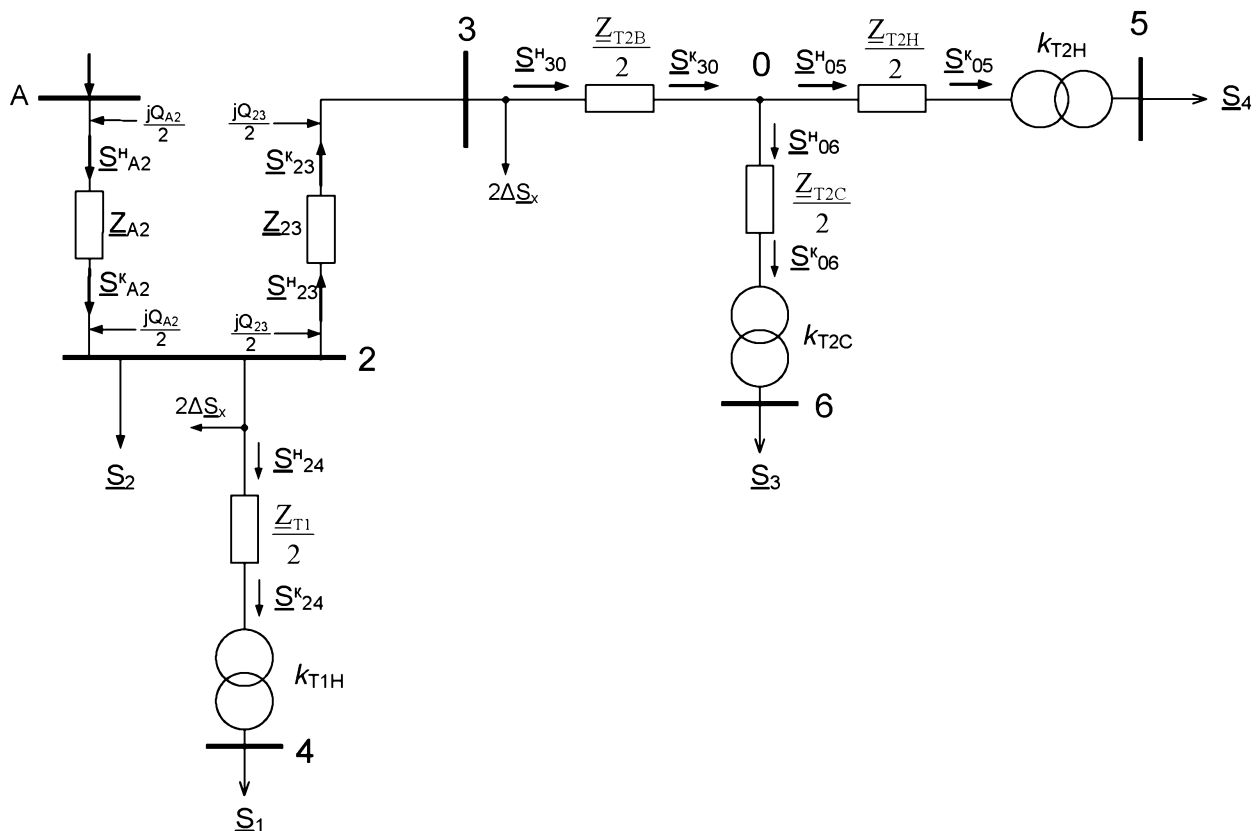


Рисунок 1.8 – Однолінійна схема електричної мережі для післяаварійного режиму

Змн.	Арк.	№ докум.	Підпис	Дата

$$\underline{S}_{23}^K = \underline{S}_{3P} - \frac{jQ_{23}}{2} = 55,31 + j31,63 \text{ МВА}$$

$$\underline{S}_{23}^H = \underline{S}_{23}^K + \frac{(P_{23}^K)^2 + (Q_{23}^K)^2}{U_H^2} \cdot \underline{Z}_{23} = 55,71 + j33,1 \text{ МВА}$$

$$\underline{S}_{A2}^K = \underline{S}_{23}^H + \underline{S}_{2P} - j \frac{(Q_{A2} + Q_{23})}{2} = 145,9 + j80,17 \text{ МВА}$$

$$\underline{S}_{A2}^H = \underline{S}_{A2}^K + \frac{(P_{A2}^K)^2 + (Q_{A2}^K)^2}{U_H^2} \cdot \underline{Z}_{A2} = 150,65 + j97,2 \text{ МВА}$$

Визначення напруг у вузлах навантаження

Для того, щоб забезпечити виконання умови допустимого спадання напруги на самому віддаленому споживачеві електроенергії, приймаємо напругу на джерелі живлення на 10% більше номінальної напруги мережі: $U_A = 242 \text{ кВ}$.

Визначимо напругу вузла 2:

$$U_2 = \sqrt{\left(U_A - \frac{P_{A2}^H R_{A2} + Q_{A2}^H X_{12}}{U_A} \right)^2 + \left(\frac{P_{A2}^H X_{A2} - Q_{A2}^H R_{A2}}{U_A} \right)^2} = 225,1 \text{ кВ}.$$

Визначимо напругу вузла 3:

$$U_3 = \sqrt{\left(U_2 - \frac{P_{23}^H R_{23} + Q_{23}^H X_{23}}{U_2} \right)^2 + \left(\frac{P_{23}^H X_{23} - Q_{23}^H R_{23}}{U_2} \right)^2} = 207,0 \text{ кВ}.$$

Визначимо напруги на низькій стороні трансформаторних підстанцій, приведені до сторони ВН:

Змн.	Арк.	№ докум.	Підпис	Дата

БР 5.6.141.745 П3

Аркуш

ПС-1

$$U_4^B = \sqrt{\left(U_2 - \frac{P_{24}^H R_{24} + Q_{24}^H X_{24}}{U_2} \right)^2 + \left(\frac{P_{24}^H X_{24} - Q_{24}^H R_{24}}{U_2} \right)^2} = 209,54 \text{ кВ.}$$

ПС-2

$$U_0 = \sqrt{\left(U_3 - \frac{P_{30}^H R_{TB} + Q_{30}^H X_{TB}}{U_3} \right)^2 + \left(\frac{P_{30}^H X_{TB} - Q_{30}^H R_{TB}}{U_3} \right)^2} = 194,5 \text{ кВ.}$$

$$U_6^B = \sqrt{\left(U_0 - \frac{P_{06}^H R_{TC} + Q_{06}^H X_{TC}}{U_0} \right)^2 + \left(\frac{P_{06}^H X_{TC} - Q_{06}^H R_{TC}}{U_0} \right)^2} = 191,5 \text{ кВ.}$$

$$U_5^B = \sqrt{\left(U_0 - \frac{P_{05}^H R_{TH} + Q_{05}^H X_{TH}}{U_0} \right)^2 + \left(\frac{P_{05}^H X_{TH} - Q_{05}^H R_{TH}}{U_0} \right)^2} = 189,1 \text{ кВ.}$$

Знайдемо реальні напруги на низькій стороні підстанції з урахуванням реального коефіцієнта трансформаторів.

ПС-1

$$U_4 = \frac{U_4^B}{\frac{U_B}{U_H}} = 10,02 \text{ кВ.}$$

ПС-2

$$U_5 = \frac{U_5^B}{\frac{U_B}{U_H}} = 9,04 \text{ кВ,} \quad U_6 = \frac{U_6^B}{\frac{U_B}{U_C}} = 35,53 \text{ кВ.}$$

Змн.	Арк.	№ докум.	Підпис	Дата

БР 5.6.141.745 П3

Аркуш

23

Таблиця 1.9 – Розрахункові напруги у вузлах навантаження у аварійному режимі

Номер вузла	4	5	6
Напруга, кВ	10,02	9,04	32,53
Відхилення, %	+0,21	-9,54	-7,04
Положення РПН	0	+8	+8
Напруга із РПН, кВ	10,02	9,77	35,13

Отримані значення напруг задовільняють вимоги ПУЕ.

2. РОЗРАХУНОК ЕЛЕКТРИЧНОЇ ЧАСТИНИ ПІДСТАНЦІЇ

Згідно із завданням, необхідно розрахувати двохтрансформаторну підстанцію ПС-1, до якої підключено навантаження потужністю $S_1 = 45 + j20$ МВА. На підстанції встановлені трансформатори типу ТРДН-40000/220.

2.1 Вибір силових трансформаторів та їх перевірка за графіком навантаження

$$S_{\text{нав}} = \sqrt{P_{\text{нав}}^2 + Q_{\text{нав}}^2} = \sqrt{45^2 + 20^2} = 49,2 \text{ МВА}$$

$$S_{\text{тр}} = \frac{S_{\text{нав}}}{K_{\text{ав}}} = 49,2 / 1,4 = 35,14 \text{ МВА}$$

де $K_{\text{ав}} = 1,4$.

$$K_3 = \frac{S_{\text{нав}}}{2 \cdot S_{\text{тр.ном}}} = 0,62$$

Для підстанцій були обрані трансформатори потужності $S = 40$ МВА типу ТРДН-40000/220.

Перевіримо трансформатори за добовим графіком навантаження табл.2.1.

Таблиця 2.1 – Добове навантаження підстанції

t, г	0	2	4	6	8	10	12	14	16	18	20	22
S, %	45	40	60	90	80	75	75	90	100	120	140	102
S, МВА	22,1	19,7	29,5	44,3	39,4	36,9	36,9	44,3	49,2	59	68,9	50,2

Для перевірки правильності вибору трансформатора реальний графік навантаження перетворимо в двоступінчастий. Початкове навантаження еквівалентного графіка визначається за формулою [10]:

Змн.	Арк.	№ докум.	Підпис	Дата	БР 5.6.141.745 П3	Аркуш
						25

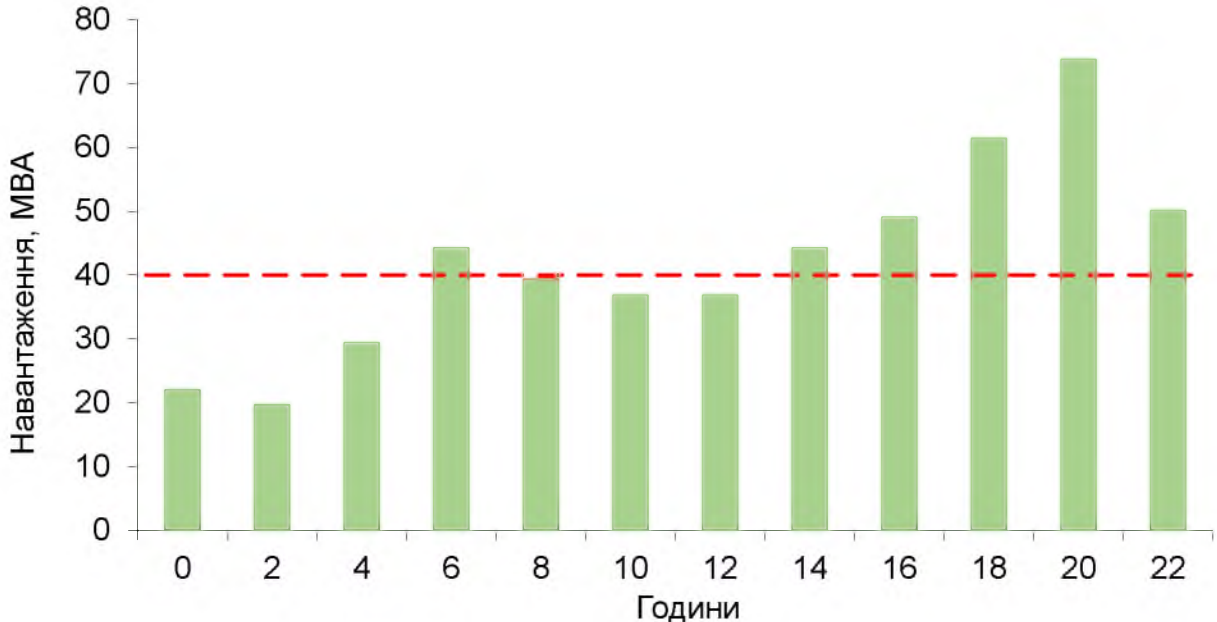


Рисунок 2.1 – Графік навантаження підстанцій

$$K_1 = \frac{1}{S_{\text{НОМ}}} \cdot \sqrt{\frac{S_1^2 t_1 + S_2^2 t_2 + \dots + S_n^2 t_n}{t_1 + t_2 + \dots + t_n}} =$$

$$= \frac{1}{40} \cdot \sqrt{\frac{22,1^2 \cdot 2 + 19,7^2 \cdot 2 + 29,5^2 \cdot 2 + 39,4^2 \cdot 2 + 36,9^2 \cdot 2 + 36,9^2 \cdot 2}{2 \cdot 6}} = 0,697$$

де S_1, S_2, \dots, S_n – власне навантаження першого; другого; n-го ступеня графіка навантаження, розміщеного нижче лінії номінальної потужності трансформатора; t_1, t_2, \dots, t_n – тривалість ступеня, година.

Аналогічно визначається другий ступінь еквівалентного графіка, але при цьому беруться ступені, розміщені вище лінії номінальної потужності трансформатора

$$K_2 = \frac{1}{S_{\text{НОМ}}} \cdot \sqrt{\frac{S_1^2 t_1 + S_2^2 t_2 + \dots + S_n^2 t_n}{t_1 + t_2 + \dots + t_n}} =$$

$$= \frac{1}{40} \cdot \sqrt{\frac{44,3^2 \cdot 2 + 44,3^2 \cdot 2 + 49,2^2 \cdot 2 + 59^2 \cdot 2 + 68,9^2 \cdot 2 + 50,2^2 \cdot 2}{2 \cdot 6}} = 1,25$$

де S_1, S_2, \dots, S_n – навантаження вище лінії номінальної потужності трансформатора.

Змн.	Арк.	№ докум.	Підпис	Дата	БР 5.6.141.745 П3	Аркуш

Максимальне перевантаження трансформатора складає

$$K_{\text{MAX}} = \frac{S_{\text{MAX}}}{S_{\text{НОМ}}} = 68,9 / 40 = 1,72$$

де S_{MAX} – максимальне навантаження трансформатора за графіком навантаження.

$$K'_2 = 0,9 \cdot K_{\text{MAX}} = 0,9 \cdot 1,72 = 1,55.$$

Порівнююмо попереднє значення K_2 и K'_2 для подальших розрахунків приймаємо більше з них $K_2 = 1,25$ та $K'_2 = 1,55$, $K'_2 > K_2$ отже приймаємо $K_2 = 1,55$.

За ГОСТом 14209-85 з урахуванням еквівалентної температури зимового періоду $t = 0^{\circ}\text{C}$ і часу перевантаження $t_{\text{перев}} = 12$ год, знаходимо значення перевантаження допустиме $K_{2\text{гост}} = 1,6$.

Порівнююмо значення K_2 за ГОСТом і реальне. $K_{2\text{гост}} = 1,6$ і $K_2 = 1,55$.

$K_{2\text{гост}} > K_2$. Значення K_2 за ГОСТом більше, ніж реальне, значить трансформатор обраний правильно.

Висновок:

Трансформатор ТРДН-40000/220 у випадку виходу з ладу 1-го трансформатора 2-й трансформатор забезпечить живлення споживачів без обмеження по часу та по потужності.

2.2 Розрахунок струмів короткого замикання

Визначення величини струмів короткого замикання необхідне для правильного вибору устаткування на стороні 220 кВ і 10 кВ. Вихідна однолінійна електрична схема електромережі наведена на рис. 2.2. Підстанція живиться за двома тупиковими лініями: схеми заміщення для розрахунку струмів короткого замикання наведена на рис. 2.3.

Змн.	Арк.	№ докум.	Підпис	Дата	БР 5.6.141.745 П3	Аркуш
						27

Розрахунок струмів короткого замикання виконаємо в іменованій системі одиниць. Потужність короткого замикання на шинах 220 кВ центра живлення складає $S_C = 2900$ МВА.

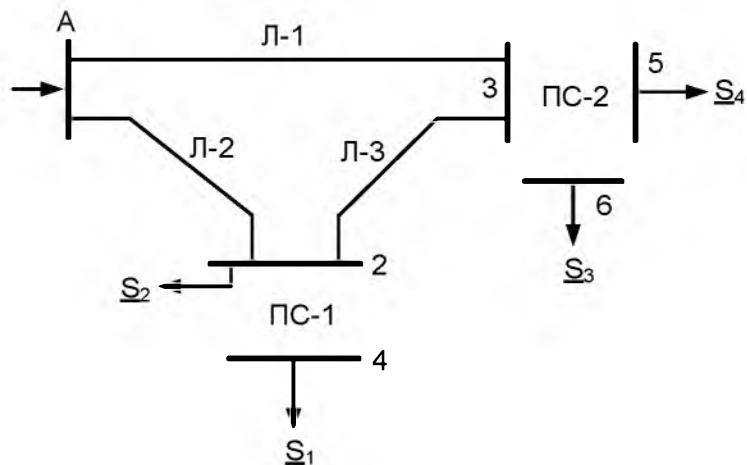


Рисунок 2.2 – Вихідна однолінійна електрична схема електромережі

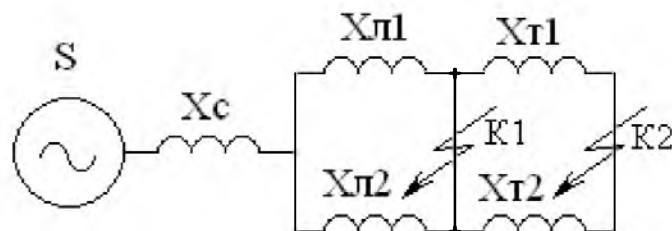


Рисунок 2.3 – Схема заміщення для розрахунку струмів короткого замикання

Опір системи дорівнює

$$X_c = \frac{U_{\text{л}}^2}{S_c} = 220^2 / 2900 = 16,69 \text{ Ом.}$$

Опори працюючих ліній:

Лінія	Л-1	Л-2	Л-3
Довжина, км	40	60	40
Марка проводу	AC-240/32	AC-240/32	AC-240/32
$X_{\text{л}}$, Ом	17,4	26,1	17,4

$$X_{\text{л1}} = X_{\text{л-1}} + X_{\text{л-3}} = 34,8 \text{ Ом}$$

$$X_{\text{л2}} = X_{\text{л-2}} = 26,1 \text{ Ом}$$

$$X_{\text{л}} = \frac{X_{\text{л1}} \cdot X_{\text{л2}}}{X_{\text{л1}} + X_{\text{л2}}} = (34,8 \cdot 26,1) / (34,8 + 26,1) = 14,91 \text{ Ом.}$$

Змн.	Арк.	№ докум.	Підпис	Дата	БР 5.6.141.745 П3	Аркуш

Опір трансформаторів

$$X_T = \frac{U_{k\%} U_H^2}{100 \cdot S_H} = (12 \cdot 220^2) / (100 \cdot 40) = 145,2 \text{ Ом.}$$

Періодична складова СКЗ у точці К₁:

$$I_{K1} = \frac{U_L}{\sqrt{3}(X_c + X_L)} = 220000 / (1,73 \cdot (17,4 + 14,91)) = 4,02 \text{ кА.}$$

Періодична складова СКЗ у точці К₂ приведена до напруги вищої сторони

$$I_{K2}^B = \frac{U_L}{\sqrt{3} \left(X_c + X_L + \frac{X_T}{2} \right)} = 220000 / (1,73 \cdot (17,4 + 14,91 + 145,2/2)) = 1,219 \text{ кА.}$$

Реальний струм КЗ у точці К₂:

$$I_{K2} = I_{K2}^B \frac{U_B}{U_H} = I_{K2}^B \cdot (220 / 10) = 26,82 \text{ кА.}$$

Ударний струм:

- у точці К₁: $i_{y_{d1}} = \sqrt{2} \cdot 1,61 \cdot I_{K1} = 9,15 \text{ кА};$

- у точці К₂: $i_{y_{d2}} = \sqrt{2} \cdot 1,61 \cdot I_{K2} = 61,07 \text{ кА.}$

Допустимо, що амплітуда ЕДС і періодична складова ТКЗ незмінні за часом, тому через час, який дорівнює часу відключення

$I_{n\tau 1} = I_{K1} = 4,02 \text{ кА}$ для точки К₁;

$I_{n\tau} = I_{K2} = 26,82 \text{ кА}$ для точки К₂.

Аперіодична складова ТКЗ до моменту розбіжності контактів вимикача

Змн.	Арк.	№ докум.	Підпис	Дата	БР 5.6.14 1.745 П3	Аркуш
						29

$$i_{a1} = \sqrt{2} \cdot I_{K1} \cdot e^{-\frac{t}{T_a}} = \sqrt{2} \cdot 4,02 \cdot e^{-\frac{0,06}{0,025}} = 0,516 \text{ кА}$$

$$i_{a2} = \sqrt{2} \cdot I_{K2} \cdot e^{-\frac{t}{T_a}} = \sqrt{2} \cdot 26,82 \cdot e^{-\frac{0,1}{0,05}} = 5,133 \text{ кА}$$

де T_a – постійна часу загасання аперіодичної складової для K_1 – $T_a = 0,025 \text{ с}$, для K_2 – $T_a = 0,05 \text{ с}$.

Інтеграл Джоуля:

$$\text{для } K_1 B_R = I_{K1}^2(t + T_a) = I_{K1}^2(0,06 + 0,025) = 4,02^2 \cdot 0,085 = 1,374 \text{ кA}^2 \cdot \text{с}$$

$$\text{для } K_2 B_R = I_{K2}^2(t + T_a) = I_{K2}^2(0,1 + 0,05) = 26,82^2 \cdot 0,15 = 107,9 \text{ кA}^2 \cdot \text{с}$$

Таблиця 2.2 – Значення струмів короткого замикання

Струми короткого замикання	СКЗ у початковий момент часу	Ударний СКЗ i_y , кА	Аперіод. складова СКЗ, i_a кА	Інтеграл Джоуля B_K , $\text{kA}^2 \cdot \text{с}$
Шини 220 кВ (K_1)	4,02	9,15	0,516	1,374
Шини 10 кВ (K_2)	26,82	61,07	5,133	107,9

2.3 Вибір захисної та комутаційної апаратури

Високовольтні електричні апарати вибираються за умовою тривалого режиму роботи і перевіряються за умовами коротких замикань. При цьому для апаратів виконується:

- 1) вибір за напругою;
- 2) вибір за нагріванням при тривалих струмах;
- 3) перевірка на електродинамічну стійкість;
- 4) перевірка на термічну стійкість;

Вибору підлягають:

- вимикачі на боці вищої напруги;
- вступні вимикачі на боці 10 кВ;
- секційні вимикачі на боці 10 кВ;

Змн.	Арк.	№ докум.	Підпис	Дата	БР 5.6.141.745 П3	Аркуш
						30

- вимикачі ліній, що відходять, 10 кВ; роз'єднувачі вищої напруги;
- трансформатори струму і напруги 220 кВ і 10 кВ;
- ошиновка розподільних пристройів 220 кВ і 10 кВ.

Для вибору апаратів і струмоведучих частин необхідно визначити струми нормального і післяаварійного режимів. Визначення струмів виконується для випадку установки на підстанції силового трансформатора. Розрахованого відповідно до графіка навантаження підстанції.

Струм на боці 220 кВ:

$$I_{\max}^{BH} = \frac{1,4 \cdot S_{\text{ном}}}{\sqrt{3} \cdot U_{BH}} = (1,4 \cdot 40) / (1,73 \cdot 220) = 147 \text{ A.}$$

Струм у колі ввідних вимикачів на стороні 10 кВ:

$$I_{\max}^{HH} = \frac{1,4 \cdot S_{\text{ном}}}{\sqrt{3} \cdot U_{HH}} = (1,4 \cdot 40) / (1,73 \cdot 10) = 3,23 \text{ kA.}$$

Струм у колі секційного вимикача:

$$I_{\max}^{CB} = \frac{1,4 \cdot S_{\text{ном}}}{\sqrt{3} \cdot U_{HH} \cdot 2} = (1,4 \cdot 40) / (1,73 \cdot 10 \cdot 2) = 1,62 \text{ kA.}$$

Струм у колі лінії, що відходить:

$$I_{\max}^{LB} = \frac{1,4 \cdot S_{\text{ном}}}{\sqrt{3} \cdot U_{HH} \cdot 10} = (1,4 \cdot 40) / (1,73 \cdot 10 \cdot 10) = 323 \text{ A.}$$

Для встановлення на стороні вищої напруги приймаємо вимикачі типу ЯЭ-220Л-11(21)У4. Вибір вимикачів наведений у табл. 2.3.

Змн.	Арк.	№ докум.	Підпис	Дата	БР 5.6.141.745 П3	Аркуш
						31

Таблиця 2.3 – Вибір вимикача на стороні 220 кВ

Умова вибору	Розрахункові значення	Каталожні значення
$U_C \leq U_H$	220 кВ	220 кВ
$I_{расч} \leq I_{ном}$	147 А	1250 А
$I_{ПО} \leq I_{npCKB}$	4,02 кА	50 кА
$I_{yo} \leq I_{CKB}$	9,15 кА	125 кА
$I_{nt} \leq I_{OmkNom}$	4,02 кА	100 кА
$I_{at} \leq I_{a\ ном}$	0,516 кА	40 кА
$B_K \leq I_T^2 t_r$	1,374 кА ² ·с	7500 кА ² ·с

Для встановлення на стороні низької напруги приймаємо вимикачі типу ВЭ-10-3600-31,5-У3. Вибір вимикачів наведений у табл. 2.4.

Таблиця 2.4 – Вибір вимикачів у колі трансформатора на стороні 10 кВ

Умова вибору	Розрахункові значення	Каталожні значення
$U_C \leq U_H$	10 кВ	10 кВ
$I_{расч} \leq I_{ном}$	3,23 кА	3600 А
$I_{ПО} \leq I_{npCKB}$	26,82 кА	31,5 кА
$I_{yo} \leq I_{CKB}$	61,07 кА	80 кА
$I_{nt} \leq I_{OmkNom}$	26,82 кА	31,5 кА
$I_{at} \leq I_{a\ ном}$	5,133 кА	31,5 кА
$B_K \leq I_T^2 t_r$	107,9 кА ² ·с	3969 кА ² ·с

Для установки в якості секційного на стороні нижчої напруги приймаємо вимикачі типу ВВЭ-10-31,5/2000У3. Вибір вимикачів наведено в табл. 2.5.

Таблиця 2.5 – Вибір секційного вимикача на боці 10 кВ

Умова вибору	Розрахункові значення	Каталожні значення
$U_C \leq U_H$	10 кВ	10 кВ
$I_{расч} \leq I_{ном}$	1,62 кА	2000 А
$I_{ПО} \leq I_{npCKB}$	26,82 кА	31,5 кА
$i_y \leq I_{npCKB}$	61,07 кА	80 кА
$I_{nt} \leq I_{OmkNom}$	26,82 кА	31,5 кА
$I_{at} \leq I_{a\ ном}$	5,133 кА	31,5 кА
$B_K \leq I_T^2 t_r$	107,9 кА ² ·с	2977 кА ² ·с

Для встановлення на стороні нижчої напруги в лініях, що відходять, приймаємо вакуумні вимикачі типу ВВЭ-10-31,5/630У3. Вибір вимикачів наведено в табл. 2.6.

Таблиця 2.6 – Вибір вимикачів на лінію, що відходить 10 кВ

Умова вибору	Розрахункові значення	Каталожні значення
$U_C \leq U_H$	10 кВ	10 кВ
$I_{расч} \leq I_{ном}$	323 А	630 А
$I_{PO} \leq I_{прСКВ}$	26,82 кА	31,5 кА
$i_y \leq I_{прСКВ}$	61,07 кА	80 кА
$I_{nt} \leq I_{ОмкНом}$	26,82 кА	31,5 кА
$I_{at} \leq I_{a\text{ном}}$	5,133 кА	31,5 кА
$B_K \leq I_T^2 t_r$	107,9 кА ² ·с	2977 кА ² ·с

Для встановлення на стороні вищої напруги приймаємо роз'єднувачі з одним або двома комплектами заземлюючих ножів типу РНДЗ.1-220/1000 ХЛ1. Вибір роз'єднувачів наведений у табл. 2.7.

Таблиця 2.7 – Вибір роз'єднувачів 220 кВ

Умова вибору	Розрахункові значення	Каталожні Значення
$U_C \leq U_H$	220 кВ	220 кВ
$I_{расч} \leq I_{ном}$	147 А	1000 А
$i_{y0} \leq I_{прСКВ}$	9,15 кА	100 кА
$B_K \leq I_T^2 t_r$	1,374 кА ² ·с	4800 кА ² ·с

2.4 Вибір збірних шин

Вибрать збірні шини 220 кВ та струмопровідні елементи в блоці від збірних шин до виводів блочного трансформатора. Трансформатор ТРДН-40000/220.

Оскільки збірні шини за економічною густиною струму не вибираються, приймаємо переріз за допустимим струмом при максимальному навантаженні на шинах, що відповідає загальному навантаженню.

$$I_{\text{норм}} = \frac{P_{\text{ном}}}{\sqrt{3} \cdot U_{\text{ном}}} = 49,2 / (1,73 \cdot 220) = 129 \text{ A.}$$

$$I_{\text{макс}} = I_{\text{норм}} = 129 \text{ A.}$$

За таблицею довідника приймаємо до встановлення провід 1хAC600/72 ($q = 600 \text{ мм}^2$, $d = 33,2 \text{ мм}$, $I_{\text{доп}} = 1050 \text{ A}$). Фази розташовані горизонтально на відстані 300 см. Тоді

$$I_{\text{доп}} > I_{\text{макс}},$$

$$1050 \text{ A} > 129 \text{ A.}$$

Перевірка шин на електродинамічну стійкість не виконується, оскільки $I_{\text{п.0}} < 20 \text{ кA}$.

Перевірка на термічну стійкість також не виконується, оскільки шини виконані голими проводами на відкритому повітрі.

Перевірка за умовами коронування в даному випадку могла б не проводитися, оскільки згідно ПУЕ мінімальний переріз для повітряних ліній 220 кВ становить 70 мм^2 . Враховуючи, що на ВРП відстань між проводами менша, ніж на повітряних лініях, проводиться перевірочний розрахунок.

Визначаємо початкову критичну напруженість електричного поля:

$$E_0 = 30,3 \cdot m \cdot \left(1 + \frac{0,299}{\sqrt{r_0}} \right),$$

де m – коефіцієнт, який враховує шорсткість поверхні проводу (для багатопровідниковых проводів $m = 0,82$); r_0 – радіус проводу, $r_0 = 1,66 \text{ см}$.

$$E_0 = 30,3 \cdot 0,82 \cdot \left(1 + \frac{0,299}{\sqrt{1,66}} \right) = 30,6 \text{ кВ/см}$$

Змн.	Арк.	№ докум.	Підпис	Дата

БР 5.6.141.745 П3

Аркуш

Визначаємо напруженість електричного поля навколо проводу

$$E = \frac{0.354 \cdot U}{r_0 \cdot \lg\left(\frac{D_{sep}}{r_0}\right)},$$

де U – лінійна напруга, кВ;

D_{sep} – середня геометрична відстань між проводами фаз, см.

При горизонтальному розташуванні фаз

$$D_{sep} = 1.26 \cdot D = 226,8,$$

де D – відстань між сусідніми фазами, для $U_h=220$ кВ $D = 180$ см.

$$E = (0.354 \cdot 242) / (1.66 \cdot \lg(226,8/1,66)) = 24,17 \text{ кВ/см.}$$

В останньому виразі лінійна напруга прийнята рівною 242 кВ, оскільки на шинах електростанції підтримується напруга 1,1 U_{nom} .

Перевірка виконується за наступною умовою: проводи не будуть коронувати, якщо

$$1,07 \cdot E \leq 0,9 \cdot E_0,$$

$$1,07 \cdot 24,17 = 25,9 < 0,9 \cdot 30,6 = 27,5 \text{ кВ/см.}$$

Умова виконується, тому провід 1xAC600/72 остаточно приймаємо до використання.

Вибір жорстких шин

Приймаємо температуру навколошнього середовища: 30°C.

Обираємо алюмінієві шини коробчастого перерізу розташовані горизонтально і жорстко закріплені одна відносно одної (2x100x45x6 мм, перерізом 2x1010 мм², I_{доп}=3500А).

Змн.	Арк.	№ докум.	Підпис	Дата	БР 5.6.141.745 П3	Аркуш
						35

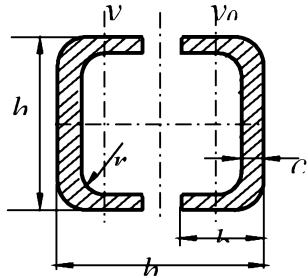


Рисунок 2.4 – Шини коробчастого перерізу

$$v_{\text{доп}} = 70^{\circ}\text{C}, v_{\text{факт}} = 30^{\circ}\text{C}, v_{\text{норм}} = 25^{\circ}\text{C}.$$

Умова за допустимим струмом:

$$I_{\text{max}}^{\text{HH}} = 3230 \text{ A} \leq I_{\text{доп}} = 3500 \text{ A},$$

умова виконується.

Припустимий струм з урахуванням поправки на температуру навколишнього середовища:

$$I'_{\text{доп}} = I_{\text{доп}} \cdot \sqrt{\frac{v_{\text{доп}} - v_{\text{факт}}}{v_{\text{доп}} - v_{\text{норм}}}} = 3500 \cdot \sqrt{\frac{70 - 30}{70 - 25}} = 3300 \text{ A},$$

де $v_{\text{доп}}$ – допустима температура шини;

$v_{\text{норм}}$ – номінальна температура навколишнього середовища.

$$3230 \text{ A} < 3300 \text{ A}.$$

Мінімальний термічно стійкий переріз:

$$q_{\text{min.доп}} = \frac{\sqrt{B_R}}{C} = \frac{\sqrt{107,9}}{90 \cdot 10^{-3}} = 115,4 \text{ mm}^2.$$

Оскільки $q_{\text{min.доп}} = 115,4 \leq 2 \times 1010 \text{ mm}^2$ термічна стійкість шин забезпечується.

Змн.	Арк.	№ докум.	Підпис	Дата	БР 5.6.141.745 П3	Аркуш
						36

Тверді шини повинні бути перевірені на динамічні дії струмів КЗ і на можливість виникнення резонансних явищ. Зазначені явища не виникають при КЗ, якщо власна частота коливань шини менше 30 і більше 200 Гц. Частота власних коливань для алюмінієвих шин визначається за формулою

$$f_0 = \frac{173.2}{l^2} \cdot \sqrt{\frac{J_{y0-y0}}{2 \cdot q_{\text{шини}}}} = \frac{173.2}{2^2} \cdot \sqrt{\frac{290}{2 \cdot 10,1}} = 292 \text{ Гц}$$

де l – довжина прольоту між ізоляторами $l = 1,5 \text{ м}$, м;

J_{y0-y0} – момент інерції поперечного перерізу двох зрощених шин, см^4 ;

$q_{\text{шини}}$ – поперечний переріз однієї шини, см^2 .

Оскільки $f_0 = 292 \geq 200 \text{ Гц}$, то механічний резонанс виключається.

Момент опору перерізу для двох зрощених шин:

$$\sigma_{\phi,\max} = 1,76 \cdot \frac{i_{\text{уд}}^2 \cdot l^2}{a \cdot W_{y0-y0}} \cdot 10^{-8} = 1,76 \cdot \frac{61,07^2 \cdot 2^2 \cdot 10^{-2}}{1,8 \cdot 58} = 2,515 \text{ МПа}$$

де a – відстань між фазами, м;

W_{y0-y0} – момент опору двох зрощених шин, см^3 .

$\sigma_{\phi,\max} = 2,515 \leq \sigma_{\text{доп}} = 82,3 \text{ МПа}$ умова механічної міцності виконується.

де $\sigma_{\text{доп}} = 82,3 \text{ МПа}$ – допустима механічна напруга в матеріалі алюмінієвих шин.

Сила взаємодії між швелерами:

$$f_{\pi} = 0,5 \cdot \frac{i_{\text{уд}}^2}{h} \cdot 10^{-7} = 0,5 \cdot \frac{61,07^2}{0,1} \cdot 10^{-1} = 1865 \text{ Н/м}$$

де h - висота швелера, м.

Максимальна відстань між місцями зварювання швелерів:

$$l_{\pi,\max} = \sqrt{\frac{12 \cdot (\sigma_{\text{доп}} - \sigma_{\phi,\max}) \cdot W_{y-y}}{f_{\pi}}} = \sqrt{\frac{12 \cdot (82,3 - 2,515) \cdot 5,9}{1865}} = 1,74 \text{ м}$$

Змн.	Арк.	№ докум.	Підпис	Дата

де W_{y-y} – момент опору шин у вертикальній площині, см³.

2.5 Вибір вимірювальних трансформаторів струму та напруги

Для ввімкнення електровимірювальних приладів і пристройів релейного захисту необхідна установка трансформаторів струму і напруги. У даному проекті релейний захист детально не розробляється, тому перевірку трансформаторів за вторинним навантаженням виконуємо з урахуванням ввімкнення тільки вимірювальних приладів.

У колі силового трансформатора з боку нижчої напруги встановлюється амперметр, вольтметр, варметр, лічильники активної і реактивної енергії, на шинах 220 кВ – вольтметр із перемикачем для виміру трьох міжфазових напруг, на секційному вимикачі 10 кВ - амперметр, на лініях, що відходять, 10 кВ - амперметр, лічильники активної і реактивної енергії. Розрахунок вторинного навантаження трансформатора струму наведений у таблиці 2.8.

Таблиця 2.8 – Розрахунок вторинного навантаження трансформаторів струму

Прилад	Клас	Навантаження по фазах		
		A	B	C
Амперметр	1	0,5	0,5	0,5
Ваттметр	1,5	0,5	-	0,5
Варметр	1,5	0,5	-	0,5
Лічильник активної енергії	1	2,5	-	2,5
Лічильник реактивної енергії	1,5	2,5	-	2,5
Сумарне навантаження струму в колі силового тр-ра на боці ВН		0,5	0,5	0,5
Сумарне навантаження струму в колі силового тр-ра з боку НН		6,5	0,5	6,5
Сумарне навантаження струму в колі секц. вимикача на НН		0,5	0,5	0,5
Сумарне навантаження струму в колі відхідної лінії		0,5	0,5	0,5

Вибір трансформаторів струму наведений у таблицях 2.9 - 2.12.

Вибираємо трансформатор струму ТФЗМ-220Б-IV.

Змн.	Арк.	№ докум.	Підпис	Дата	БР 5.6.141.745 П3	Аркуш
						38

Таблиця 2.9 – Вибір трансформатора струму в колі силового трансформатора на боці високої напруги 220 кВ

Умова вибору	Розрахункові значення	Каталожні значення
$U_C \leq U_H$	220 кВ	220 кВ
$I_{пасч} \leq I_{ном}$	147 А	1500 А
$i_y \leq I_{npCKB}$	9,15 кА	100 кА
$B_K \leq I_T^2 t_r$	1,374 кА ² ·с	4610 кА ² ·с
$Z_H \leq Z_{H,ном}$	0,82 Ом	1,2 Ом

Для перевірки за вторинним навантаженням визначаємо опір приладів

$$Z_{\text{прил}} = \frac{S_{\text{прил}}}{I^2} = \frac{0,5}{5^2} = 0,02 \text{ Ом}$$

Тоді опір сполучних проводів може бути

$$Z_{\text{пр}} = Z_{\text{ном}} - Z_{\text{прил}} - Z_{\text{к}}$$

де $Z_{\text{пр}}$ – номінальний опір навантаження, Ом;

$Z_{\text{прил}}$ – опір приладів, Ом;

$Z_{\text{к}}$ – опір контактів, Ом.

$$Z_{\text{пр}} = 1,2 - 0,02 - 0,1 = 1,08 \text{ Ом.}$$

Перетин жил при довжині кабеля $l = 100$ м:

$$F = \rho \cdot \frac{l}{Z_{\text{пр}}} = 0.0175 \cdot \frac{100}{1.08} = 1.62 \text{ мм}^2$$

де ρ – питомий опір міді, $0,0175 (\text{Ом} \cdot \text{мм}^2/\text{м})$,

F – перетин жил, мм^2 .

Змн.	Арк.	№ докум.	Підпис	Дата	БР 5.6.141.745 П3	Аркуш
						39

Перетин сполучних проводів за умовами механічної міцності повинний бути не менше ніж $2,5 \text{ мм}^2$ для мідних жил.

Опір обраних проводів:

$$Z_{\text{пр}} = \rho \cdot \frac{l}{F} = 0.0175 \cdot \frac{100}{2,5} = 0.7 \text{ Ом}$$

Загальний опір струмового кола

$$Z_H = Z_{\text{прил}} + Z_k + Z_{\text{пр}} = 0,02 + 0,1 + 0,7 = 0,82 \text{ Ом}$$

що менше ніж $1,2 \text{ Ом}$, припустимих при роботі трансформатора в класі точності $0,5$.

Трансформатор струму ТФЗМ-220Б-IV відповідає умовам вибору.

Вибираємо трансформатор струму ТШЛ-10-У3.

Таблиця 2.10 – Вибір трансформатора струму у колі трансформатора на боці 10 кВ

Умова вибору	Розрахункові значення	Каталожні значення
$U_C \leq U_H$	10 кВ	10 кВ
$I_{\text{расч}} \leq I_{\text{ном}}$	3230 А	4000 А
$i_y \leq i_{\text{дин}}$	$61,07 \text{ кА}$	-
$B_K \leq I_T^2 t_r$	$107,9 \text{ кА}^2 \cdot \text{с}$	$3250 \text{ кА}^2 \cdot \text{с}$
$Z_H \leq Z_{H,\text{ном}}$	$0,8 \text{ Ом}$	$0,8 \text{ Ом}$

Для перевірки за вторинним навантаженням визначаємо опір приладів

$$Z_{\text{прил}} = \frac{S_{\text{прил}}}{I^2} = \frac{6,5}{5^2} = 0,26 \text{ Ом}$$

Змн.	Арк.	№ докум.	Підпис	Дата	БР 5.6.141.745 П3	Аркуш
						40

Тоді опір сполучних проводів може бути

$$Z_{\text{пр}} = Z_{\text{ном}} - Z_{\text{прил}} - Z_k$$

де $Z_{\text{пр}}$ – номінальний опір навантаження, Ом;

$Z_{\text{прил}}$ – опір приладів, Ом;

Z_k – опір контактів, Ом.

$$Z_{\text{пр}} = 0,8 - 0,26 - 0,1 = 0,44 \text{ Ом.}$$

Перетин жил при довжині кабеля $l = 100$ м:

$$F = \rho \cdot \frac{l}{Z_{\text{пр}}} = 0,0175 \cdot \frac{100}{0,44} = 3,98 \text{ мм}^2$$

де ρ – питомий опір міді, $0,0175$ ($\text{Ом} \cdot \text{мм}^2/\text{м}$),

F – перетин жил, мм^2 .

Перетин сполучних проводів за умовами механічної міцності повинний бути не менше ніж 4 мм^2 для мідних жил.

Опір обраних проводів:

$$Z_{\text{пр}} = \rho \cdot \frac{l}{F} = 0,0175 \cdot \frac{100}{4} = 0,44 \text{ Ом.}$$

Загальний опір струмового кола

$$Z_H = Z_{\text{прил}} + Z_k + Z_{\text{пр}} = 0,26 + 0,1 + 0,44 = 0,8 \text{ Ом.}$$

що менше ніж $0,8$ Ом, припустимих при роботі трансформатора в класі точності $0,5$.

Трансформатор струму ТШЛ-10-У3 відповідає умовам вибору.

Вибираємо трансформатор струму ТШЛ-10-У3.

Змн.	Арк.	№ докум.	Підпис	Дата

БР 5.6.141.745 П3

Аркуш

41

Таблиця 2.11 – Вибір трансформатора струму в колі секційного вимикача 10 кВ

Умова вибору	Розрахункові значення	Каталожні значення
$U_C \leq U_H$	10 кВ	10 кВ
$I_{расч} \leq I_{ном}$	1,62 кА	2000 А
$i_y \leq i_{дин}$	61,07 кА	-
$B_K \leq I_T^2 t_r$	107,9 $\text{kA}^2 \cdot \text{с}$	3250 $\text{kA}^2 \cdot \text{с}$
$Z_H \leq Z_{H,ном}$	0,56 Ом	0,8 Ом

Для перевірки за вторинним навантаженням визначаємо опір приладів

$$Z_{прил} = \frac{S_{прил}}{I^2} = \frac{0,5}{5^2} = 0,02 \text{ Ом}$$

Тоді опір сполучних проводів може бути

$$Z_{пр} = Z_{ном} - Z_{прил} - Z_{к}$$

де $Z_{пр}$ – номінальний опір навантаження, Ом;

$Z_{прил}$ – опір приладів, Ом;

$Z_{к}$ – опір контактів, Ом.

$$Z_{пр} = 0,8 - 0,02 - 0,1 = 0,68 \text{ Ом.}$$

Перетин жил при довжині кабеля $l = 100$ м:

$$F = \rho \cdot \frac{l}{Z_{пр}} = 0,0175 \cdot \frac{100}{0,68} = 2,57 \text{ мм}^2$$

де ρ – питомий опір міді, $0,0175 (\text{Ом} \cdot \text{мм}^2/\text{м})$,

F – перетин жил, мм^2 .

Перетин сполучних проводів за умовами механічної міцності повинний бути не менше ніж 4 мм^2 для мідних жил.

Змн.	Арк.	№ докум.	Підпис	Дата	БР 5.6.141.745 П3	Аркуш
						42

Опір обраних проводів:

$$Z_{\text{пр}} = \rho \cdot \frac{l}{F} = 0.0175 \cdot \frac{100}{4} = 0,438 \text{ Ом.}$$

Загальний опір струмового кола

$$Z_H = Z_{\text{прил}} + Z_k + Z_{\text{пр}} = 0.02 + 0.1 + 0,438 = 0,56 \text{ Ом.}$$

що менше ніж 0,8 Ом, припустимих при роботі трансформатора в класі точності 0,5.

Трансформатор струму ТШЛ-10-У3 відповідає умовам вибору.

Вибираємо трансформатор струму ТШЛП-10-У3.

Таблиця 2.12 – Вибір трансформатора струму на лінії, що віходить

Умова вибору	Розрахункові значення	Каталожні значення
$U_C \leq U_H$	10 кВ	10 кВ
$I_{\text{расч}} \leq I_{\text{ном}}$	323 А	1000 А
$i_y \leq i_{\text{дин}}$	61,07 кА	-
$B_K \leq I_T^2 t_r$	107,9 $\text{kA}^2 \cdot \text{с}$	3250 $\text{kA}^2 \cdot \text{с}$
$Z_H \leq Z_{H,\text{ном}}$	0,56 Ом	0,8 Ом

Для перевірки за вторинним навантаженням визначаємо опір приладів

$$Z_{\text{прил}} = \frac{S_{\text{прил}}}{I^2} = \frac{0,5}{5^2} = 0,02 \text{ Ом}$$

Тоді опір сполучних проводів може бути

$$Z_{\text{пр}} = Z_{\text{ном}} - Z_{\text{прил}} - Z_k$$

де $Z_{\text{пр}}$ – номінальний опір навантаження, Ом;

$Z_{\text{прил}}$ – опір приладів, Ом;

Z_k – опір контактів, Ом.

Змн.	Арк.	№ докум.	Підпис	Дата	БР 5.6.141.745 П3	Аркуш
						43

$$Z_{\text{пр}} = 0,8 - 0,02 - 0,1 = 0,68 \text{ Ом.}$$

Перетин жил при довжині кабеля $l = 100$ м:

$$F = \rho \cdot \frac{l}{Z_{\text{пр}}} = 0,0175 \cdot \frac{100}{0,68} = 2,57 \text{ мм}^2$$

де ρ – питомий опір міді, $0,0175 (\text{Ом} \cdot \text{мм}^2/\text{м})$,

F – перетин жил, мм^2 .

Перетин сполучних проводів за умовами механічної міцності повинний бути не менше ніж 4 мм^2 для мідних жил.

Опір обраних проводів:

$$Z_{\text{пр}} = \rho \cdot \frac{l}{F} = 0,0175 \cdot \frac{100}{4} = 0,438 \text{ Ом.}$$

Загальний опір струмового кола

$$Z_{\text{н}} = Z_{\text{прил}} + Z_k + Z_{\text{пр}} = 0,02 + 0,1 + 0,438 = 0,56 \text{ Ом.}$$

що менше ніж $0,8 \text{ Ом}$, припустимих при роботі трансформатора в класі точності $0,5$.

Трансформатор струму ТШЛП-10-У3 відповідає умовам вибору.

Обираємо трансформатори напруги за заданими значеннями напруги та за потужністю.

На боці високої напруги 220 кВ обираємо трансформатори НКФ-220-58У1, на боці 10 кВ – ЗНОЛ.09-10.02, використовуючи дані із таблиць наведених у довідниках.

Змн.	Арк.	№ докум.	Підпис	Дата

БР 5.6.141.745 П3

Аркуш

Таблиця 2.13 – Вибір трансформатора напруги з боку ВН

Тип	Клас напруги	Номінальна напруга обмоток			Номінальна потужність, В·А, в класі точності				Максимальна потужність, В·А
		Первинної, кВ	Основної вторинної, В	Додаткової, В	0,2	0,5	1	3	
НКФ-220-58У1	220	220/ $\sqrt{3}$	100/ $\sqrt{3}$	100	-	400	600	1200	2000

Таблиця 2.14 – Вибір трансформатора напруги з боку НН

Тип	Клас напруги	Номінальна напруга обмоток			Номінальна потужність, В·А, в класі точності				Максимальна потужність, В·А
		Первинної, кВ	Основної вторинної, В	Додаткової, В	0,2	0,5	1	3	
ЗНОЛ.09 -10.02	10	10/ $\sqrt{3}$	100/ $\sqrt{3}$	100	50	75	150	300	630

2.6 Обґрунтування схеми електричних з'єднань підстанції

Основна схема електричних з'єднань повинна задовольняти такі вимоги [4]:

- забезпечувати надійність електропостачання в нормальних та післяаварійних режимах;
- ураховувати перспективи розвитку;
- допускати можливість розширення;
- забезпечувати можливість виконання ремонтних і експлуатаційних робіт на окремих елементах схеми та без відключення приєднань.

При цьому слід застосовувати найпростіші схеми.

Підстанція відноситься до класу тупикових підстанцій. Для даного класу напруги, набору зовнішніх приєднань і потужності трансформаторів, з урахуванням того, що застосування віддільників в умовах холодного клімату не рекомендується, приймаємо до установки на проектованій підстанції схему «два блоки «лінія - трансформатор» з вимикачем у колі трансформатора та неавтоматичною перемичкою» (рис. 2.5).

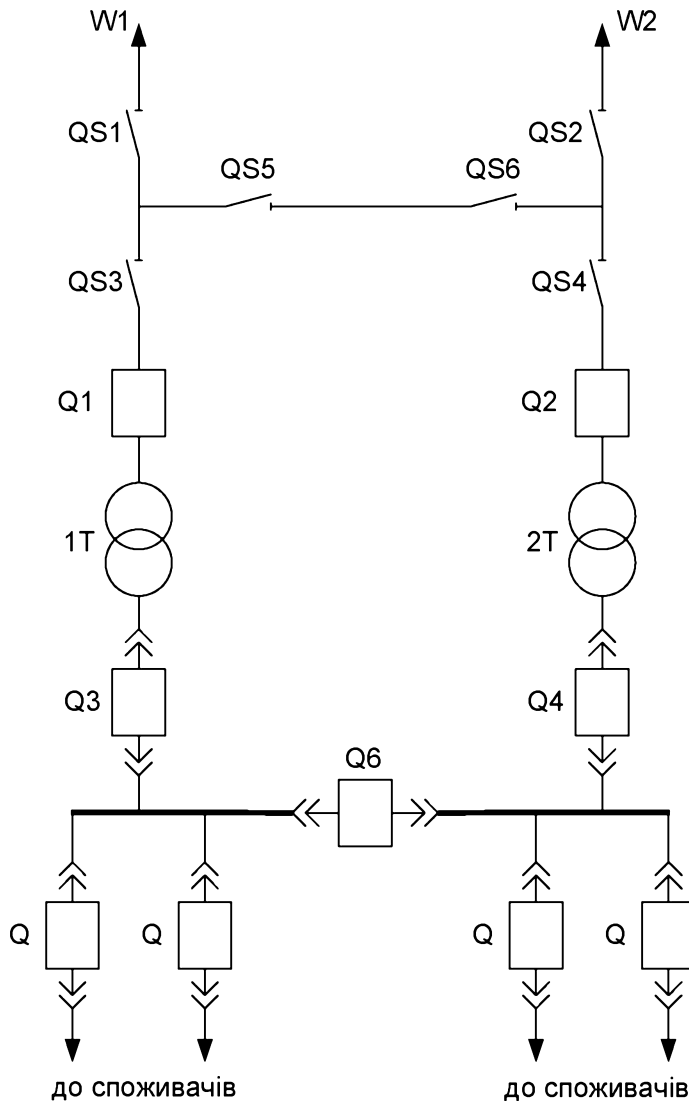


Рисунок 2.5 – Схема розміщення високовольтних апаратів на підстанції

Схема з ремонтною перемичкою, виконаною за допомогою роз'єднувачів («неавтоматичною» перемичкою), забезпечує можливість приєднання обох трансформаторів до однієї лінії при ремонті іншої.

Схема підстанції наведена на графічній частині проекту.

У нормальному режимі все комутаційне обладнання включене, за винятком роз'єднувачів QS3...QS4 у ремонтній перемичці. Повітряні лінії W1, W2 - лінії, які з'єднують проектовану підстанцію з енергосистемою.

Розглянемо наслідки аварійних ситуацій у даній схемі:

1) Відмова одного із трансформаторів (припустимо Т1). При короткому замиканні в трансформаторі Т1 відбувається відключення вимикача Q1. Живлення споживачів підстанції здійснюється через трансформатор Т2 за рахунок

Змн.	Арк.	№ докум.	Підпис	Дата	БР 5.6.141.745 П3	Аркуш
						46

його перевантажувальної здатності.

2) Відмова однієї лінії, яка з'єднує споживачів з електростанцією (W1). При короткому замиканні на лінії W1 відбувається відключення вимикача Q1, трансформатор T1 втрачає живлення. Після відключення W1 оперативний персонал відключає ушкоджену лінію лінійним роз'єднувачем. Після цього замикається раніше відключений роз'єднувач QS3, відбувається включення Q1 і трансформатор T1 відновлює живлення.

3) Відмова одного з вимикачів (Q1). При короткому замиканні у вимикачі Q1 відключається головний вимикач і лінія W1. Живлення всіх споживачів підстанції здійснюється від лінії W2 і трансформатора T2.

Таким чином, з наведеного аналізу видно, що при використанні даної схеми відсутній варіант простої (одиночної) аварійної ситуації, яка приводить до відключення споживачів проектованої підстанції.

Найбільш важкою аварійною ситуацією є відмова однієї з живильних ліній (W1) у період ремонту одного із трансформаторів (T2), але й у цьому випадку є можливість забезпечити живлення споживачів проектованої підстанції від лінії W2 через ремонтну перемичку QS3-QS4 і трансформатор T1.

2.7 Вибір трансформаторів власних потреб

Приймачами власниками власних потреб є [10]:

- оперативні кола;
- електродвигуни, системи охолодження силових трансформаторів, висвітлення і електроопалення приміщень;
- електропідігрівання комутаційної апаратури і т.д.

Сумарна розрахункова потужність приймача власних потреб визначається з урахуванням коефіцієнтів попиту. Розрахунок потужності приймача власних потреб наведений у табл. 2.15.

На підстанції передбачається установка 2 трансформаторів власних потреб. Номінальна потужність вибирається з умов

Змн.	Арк.	№ докум.	Підпис	Дата

БР 5.6.141.745 П3

Аркуш

47

$$S_{TCH} \geq S_{CH},$$

де S_{TCH} - потужність трансформатора власних потреб, кВА;

S_{CH} - потужність споживачів власних потреб, кВА.

Таблиця 2.15 – Розрахунок потужності приймача власних потреб

№ п/п	Найменування споживача	Установлена потужність		Коеф. попиту	$\cos\varphi$	Навантаження	
		Одиниці, кВт х кількість	Всього, кВт			$P_{уст}$, кВт	$Q_{уст}$, кВАр
1	Охолодження трансформаторів ТРДН-40000/220	2x5	10	0,8	0,85	10	6,2
2	Підігрів високовольтних вимикачів зовнішньої установки	2x4	8	0,8	1	8	-
3	Підігрів приводів розв'єднувачів зовнішньої установки	4x0,6	2,4	0,8	1	2,4	-
4	Опалення, освітлення, вентиляція закритого РУ	-	5	0,8	1	5	-
5	Освітлення РУ	-	2	0,8	1	2	-
	Всього					27,4	6,2

Розрахункове навантаження

$$S_{уст} = K_C \cdot \sqrt{P_{уст}^2 + Q_{уст}^2}$$

де K_C – коефіцієнт попиту. Приймаємо рівним 0,8

$$S_{уст} = 0,8 \cdot \sqrt{27,4^2 + 6,2^2} = 22,5 \text{ кВА}$$

Змн.	Арк.	№ докум.	Підпис	Дата	БР 5.6.141.745 П3	Аркуш
						48

Під час ввімкнення цього навантаження на один трансформатор допускається його перевантаження на 20%. Потужність трансформатора для забезпечення живлення навантаження власних потреб з урахуванням ремонтних навантажень. Ремонтне навантаження на підстанції можна брати таким, що дорівнює $S_{TCP} = 20 - 25$ кВА.

$$S_{TCH} = \frac{S_{CH} + S_{TCP}}{1,2} = \frac{22,5 + 20}{1,2} = 35,4 \text{ кВА.}$$

Беремо стандартну потужність трансформатора $S_{TCH} = 40$ кВА. Остаточно для живлення споживача власних потреб беремо два трансформатори стандартної потужності: ТМ-40/10.

2.8 Компонування розподільних пристройів на боці 220 кВ

Підстанції (ПС) 220 кВ споруджують, як правило, відкритими.

Спорудження закритих ПС напругою 220 кВ, допускається в таких випадках[9]: розміщення ПС із трансформаторами 16 МВА і вище на службовій території міст, розміщення ПС на території міст, коли це допускається містобудівним міркуванням.

На ПС електропостачання промислових підприємств передбачається водяне опалення, приєднане до теплових мереж підприємств.

Будинки ЗРУ (закритих РУ) допускається виконувати як окремо розміщені, так і зблокованими з будинками РПУ в тому числі і по вертикалі.

Трансформатори 220 кВ варто установлювати відкритими, а у районах із забрудненою атмосферою з посиленою ізоляцією.

Схеми для напруг 220 кВ і вище повинні складатися з урахуванням таких вимог: ремонт вимикачів 220 кВ і вище виконується без відключення приєднань: повітряні лінії відключаються від РП не більше ніж двома вимикачами, трансформатори блоків відключаються не більше ніж трьома вимикачами і т.ін.

Змн.	Арк.	№ докум.	Підпис	Дата	БР 5.6.141.745 П3	Аркуш
						49

При відключеннях вимикачів у нормальному режимі РП не повинне відключати більше одного блока, у ремонтному - не більше двох блоків.

Для РП35-220 кВ при числі приєднань 12-16 одну з двох систем секціонують, при числі приєднань більш ніж 16 – секціонують обидві системи шин.

2.9 Компонування розподільних пристрій на боці 10кВ

РП 10 кВ входять до складу підстанцій як головні РП. До РП10 кВ підстанцій підключаються понижуючі трансформатори, синхронні компенсатори та ін.

Схеми РП10 кВ повинні задовольняти наступним вимогам [4-6]: неспрацювання вимикача не повинне приводити до припинення електропостачання відповідальних споживачів (1 категорія по ПУЭ), розширення РП з ростом навантажень не повинне приводити до зміни схеми і значних будівельних і монтажних робіт.

Секціювання збірних шин дозволяє задовольнити вимоги надійності. Розширення РП здійснюється заповненням резервних осередків або введенням нової секції.

РУ 10 кВ для комплектних трансформаторів ПС виконується у вигляді КРУН або КРУ, встановлюваних у закритих приміщеннях. У ЗРУ 10 кВ рекомендується встановлювати шафи КРУ заводського виготовлення.

Змн.	Арк.	№ докум.	Підпис	Дата	БР 5.6.141.745 П3	Аркуш
						50

3 РОЗРАХУНОК РЕЛЕЙНОГО ЗАХИСТУ ТРАНСФОРМАТОРА

3.1 Визначення параметрів, необхідних для розрахунків захисту трансформатора

Необхідно виконати розрахунок поздовжнього диференціального струмового захисту для трансформатора типу ТДТН-40000/220 від усіх видів замикань на виводах і в обмотках сторін із заземленою нейтраллю, а також від багатофазних замикань на виводах і в обмотках сторін з ізольованою нейтраллю. Трансформатор отримує живлення від енергосистеми з параметрами $x_{c,max} = 12 \text{ Ом}$; $x_{c,min} = 18 \text{ Ом}$ (опори приведені до напруги $U_{cp,nom} = 115 \text{ кВ}$).

Таблиця 3.1 – Паспортні дані трансформатора

Тип	Номінальна потужність, МВА	Номінальна напруга обмоток, кВ			Втрати, кВт			Напруга КЗ, %		Ток ХХ %
		ВН	СН	НН	ХХ	КЗ	ВН-СН	ВН-НН	СН-НН	
ТДТН-40000/220	40	230	38,5	11	54	220	12,5	22	9,5	0,55

3.2 Розрахунок струмів короткого замикання

Розраховуємо струми КЗ у максимальному й мінімальному режимах системи. Струми КЗ приведені до напруги 230 кВ.

Змн.	Арк.	№ докум.	Підпис	Дата	БР 5.6.141.745 П3	Аркуш
						51

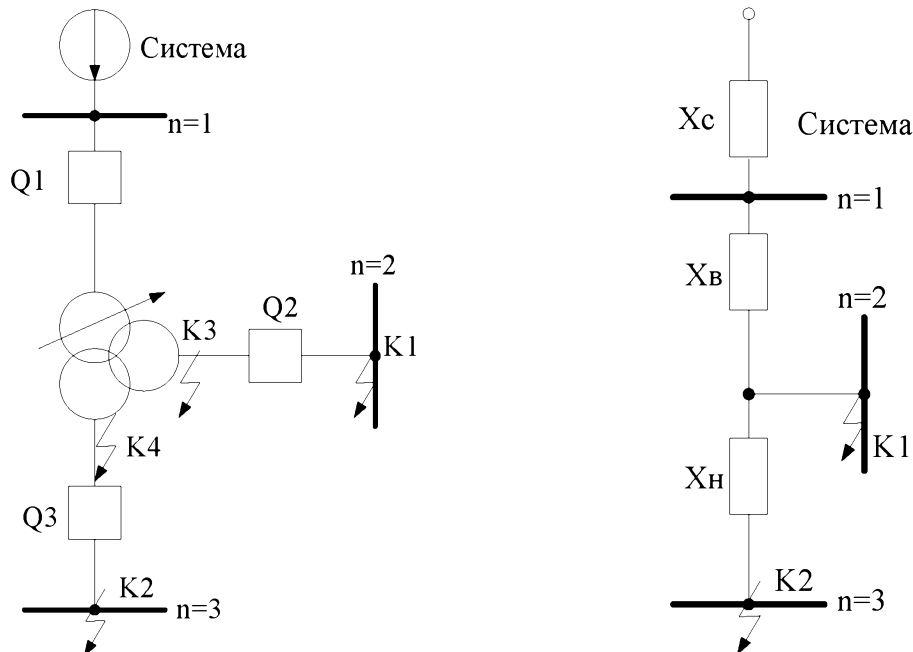


Рисунок 3.1 – Схема включення трансформатора, що захищається

Для складання схеми заміщення (рисунок 3.1) обчислюються опори трансформатора. Знаходимо напругу $U_{\kappa BC}$ з умови:

$$U_{\kappa BC} = U_{\kappa BH} - U_{\kappa CH} = 22 - 9,5 = 12,5 \%$$

$$U_{\kappa B} = 0,5(U_{\kappa BC} + U_{\kappa BH} - U_{\kappa CH}) = 0,5(12,5 + 22 - 9,5) = 12,5\%$$

$$x_B = \frac{U_{\kappa B}}{100} \frac{U_{cp.nom}^2}{S_m} = \frac{12,5}{100} \frac{230^2}{40} = 165,3 \text{ (Ом);}$$

$$U_{\kappa H} = 0,5(U_{\kappa CH} + U_{\kappa BH} - U_{\kappa BC}) = 0,5(9,5 + 22 - 12,5) = 9,5 \%$$

$$x_h = \frac{U_{\kappa H}}{100} \frac{U_{cp.nom}^2}{S_m} = \frac{9,5}{100} \frac{230^2}{40} = 125,6 \text{ (Ом)}$$

$$x_c \approx 0$$

При розрахунках струмів КЗ для захистів трансформаторів із РПН слід

Змн.	Арк.	№ докум.	Підпис	Дата

урахувати зміну опору за рахунок регулювання напруги. Для трансформаторів 220 кВ приблизно можна прийняти:

$$x_{m.\min} = x_{m.nom} (1 - \Delta U)^2; \quad x_{m.\max} = x_{m.nom} (1 + \Delta U)^2$$

звідси

$$x_{B.\min} = 165.3 * (1 - 0.12)^2 = 128 \text{ (Ом)}; \quad x_{B.\max} = 207.4 \text{ (Ом)}; \quad x_{H.\min} = 97.3 \text{ (Ом)}; \\ x_{H.\max} = 157.6 \text{ (Ом)}.$$

Струм КЗ на шинах середньої напруги (точка К1, рисунок 3.1)

$$I_{\kappa.\max}^{(3)} = \frac{U_{cp.nom}}{\sqrt{3}(x_{c.\max} + x_{b.\min})} = \frac{230}{\sqrt{3}(12+128)} = 0.95(kA)$$

$$I_{\kappa.\min}^{(2)} = \frac{U_{cp.nom}}{2(x_{c.\min} + x_{b.\max})} = \frac{230}{2(18+207.4)} = 0.51(kA)$$

Струм КЗ на шинах НН (точка К2, рисунок 3.1)

$$I_{\kappa.\max}^{(3)} = \frac{U_{cp.nom}}{\sqrt{3}(x_{c.\max} + x_{b.\min} + x_{h.\min})} = \frac{230}{\sqrt{3}(12+128+97.3)} = 0.56(kA)$$

$$I_{\kappa.\min}^{(2)} = \frac{U_{cp.nom}}{2(x_{c.\min} + x_{b.\max} + x_{h.\max})} = \frac{230}{2(18+207.4+157.6)} = 0.3(kA)$$

Змн.	Арк.	№ докум.	Підпис	Дата

БР 5.6.141.745 П3

Аркуш

53

3.3 Розрахунок поздовжнього диференціального струмового захисту та вибір типу реле

1. Визначаємо середні значення первинних і вторинних номінальних струмів для всіх плечей диференціального захисту (по номінальній потужності найбільш потужної обмотки трансформатора). Розрахунки зводяться в табл. 3.2.

Таблиця 3.2

Найменування величини	Чисельне значення для сторони		
	230 кВ	38,5 кВ	11 кВ
Первинний номінальний струм трансформатора, А	$\frac{40000}{\sqrt{3} \cdot 230} = 100,5$	$\frac{40000}{\sqrt{3} \cdot 38,5} = 600,6$	$\frac{40000}{\sqrt{3} \cdot 11} = 2102$
Коефіцієнт трансформації трансформаторів струму n_T	300/5	1500/5	4000/5
Схема з'єднання обмоток трансформаторів струму	Δ	Δ	Y
Вторинний струм у плечі захисту, А	$\frac{100,5 * \sqrt{3}}{300 / 5} = 2,9$	$\frac{600,6 * \sqrt{3}}{1500 / 5} = 3,46$	$\frac{2102 * \sqrt{3}}{4000 / 5} = 4,55$

Струм спрацьовування захисту визначається за більшою із двох розрахункових умов:

а) відбудування від кидка струму намагнічування:

$$I_{c,3} = k_{omc} I_{nom} = 1,3 * 100,5 = 130,7 \text{ (A)}$$

б) відбудування від струму небалансу, виконується з урахуванням виразів:

Змн.	Арк.	№ докум.	Підпис	Дата	БР 5.6.141.745 П3	Аркуш
						54

$$I_{c.3} = k_3 (k_{odn} \varepsilon + \Delta U_I + \Delta U_{II}) I_{\kappa.макс(K1)}^{(3)} = 1,3 (1,0 \cdot 0,1 + 0,12 + 0,05) 950 = 333,3 \text{ (A)}$$

Приймається $I_{c.3} = 333,3 \text{ (A)}$

2. Попередня перевірка чутливості проводиться по первинних струмах при двофазному КЗ на стороні НН (точка К4, рисунок 3.1):

$$k_u = \frac{I_{\kappa.мин(K4)}^{(2)}}{I_{c.3}} = \frac{300}{333,3} = 0,9 < 2$$

3. Оскільки захист із реле типу РНТ не забезпечує чутливості, а розрахунковою є відбудування від струму небалансу, то слід застосувати реле типу ДЗТ-11, для якого струм спрацьовування захисту вибирається за умовами:

а) відбудування від кидка, що намагнічує струм:

$$I_{c.3} = k_{omc} I_{ном} = 1,5 * 100,5 = 150,8 \text{ (A)}$$

б) відбудування від струму небалансу при КЗ на СН:

$$I_{c.3} = k_3 (k_{odn} \varepsilon + \Delta U_I + \Delta U_{II}) I_{\kappa.макс(K1)}^{(3)} = 1,5 (1,0 \cdot 0,1 + 0,12 + 0,05) 950 = \\ = 384,6 \text{ (A)}$$

в) відбудування від струму небалансу при КЗ на НН:

$$I_{c.3} = k_3 (k_{odn} \varepsilon + \Delta U_I) I_{\kappa.макс(K2)}^{(3)} = 1,5 (1,0 \cdot 0,1 + 0,12) 560 = 184,9 \text{ (A)}$$

Приймаємо реле ДЗТ-11 з уставкою гальмівної обмотки з боку СН. Тоді відбудування по підп. Зб буде забезпечене за рахунок гальмування, а струм спрацьовування захисту приймається по більшій з умов За і Зв: $I_{c.3} = 184,9 \text{ (A)}$.

4. Визначається чутливість захисту при КЗ на стороні НН при

Змн.	Арк.	№ докум.	Підпис	Дата	БР 5.6.141.745 П3	Аркуш 55

мінімальному регулюванні:

$$k_u = \frac{I_{\kappa.\min(K4)}^{(2)}}{I_{c.3}} = \frac{300}{184.9} = 1,62$$

Це значення k_u трохи менше нормованого, однак, уже при номінальному коефіцієнті трансформації трансформатора струм КЗ складе:

$$I_{\kappa.\min}^{(2)} = \frac{230}{2(18 + 165.3 + 125.6)} = 372,2 \text{ (A)}$$

і необхідний коефіцієнт чутливості забезпечується

$$k_u = \frac{372.2}{184.9} = 2.01$$

Тому захист із реле ДЗТ-11 може бути застосований.

3.4 Вибір уставок реле ДЗТ-11

Первинний і вторинний струми сторін трансформатора наведено в таблиці 3.1.

З таблиці 3.1 випливає, що в якості основної слід обрати сторону НН (11 кВ), що має більший вторинний номінальний струм.

Струм спрацьовування реле для основної сторони визначається по виразу:

$$I_{cp.osn} = \frac{I_{c.3} k_{cx} \frac{U_{cp.nom}}{U_{nom}}}{K_{In}} = \frac{184.9 \cdot 1 \cdot \frac{230}{11}}{\frac{4000}{5}} = 4.83 \text{ (A)}$$

Змн.	Арк.	№ докум.	Підпис	Дата

БР 5.6.141.745 П3

Аркуш

Розрахункове число витків робочої обмотки для основної сторони визначається:

$$w_{osn.pacu} = \frac{F_{cp}}{I_{c.p.osn}} = \frac{100}{4.83} = 20,7 \text{ витків}$$

Приймається $w_{pacu.osn} = 21$ витків, що відповідає фактичному струму спрацьовування реле $I_{c.p.osn} = \frac{100}{21} = 4.76$ (A).

Розрахункові числа витків для інших сторін трансформатора визначаються:

для сторони 220 кВ $w_{pacuI} = 21 \frac{4.55}{2.9} = 32,9$. Приймається $w_I = 33$;

для сторони 110 кВ $w_{pacuII} = 21 \frac{4.55}{3.46} = 32.93$. Приймається $w_{II} = 33$.

Уточнений струм спрацьовування захисту з урахуванням погрішності вирівнювання знаходиться по виразах:

$$I_{c.3} = (k_{odn}\varepsilon + \Delta U_I + \Delta w_I) I_{\kappa.maks(K2)} = 1,5(1,0 \cdot 0,1 + 0,12 + 0,002) 560 = 186,6 \text{ (A)},$$

де $\Delta w_I = \frac{w_{I_{pacu}} - w_I}{w_{I_{pacu}}} = \frac{32.93 - 33}{32.93} = 0,002$.

Уточнений розрахунковий струм спрацьовування реле визначається:

$$I_{cp.osn} = \frac{I_{c.3} k_{cx} \left(\frac{U_{cp.nom}}{U_{nomIII}} \right)}{k_{I(III)}} = \frac{186.6 \cdot 1 \cdot \left(\frac{230}{11} \right)}{\frac{4000}{5}} = 4.88 \text{ (A)}$$

Розрахунковий струм небалансу захисту при КЗ на стороні СН, де передбачене гальмування, з урахуванням погрішності вирівнювання знаходиться

Змн.	Арк.	№ докум.	Підпис	Дата	БР 5.6.141.745 П3	Аркуш
						57

по виразах:

$$I_{\text{нб.расч}} = k_3 (k_{nep} \varepsilon + \Delta U_I + \Delta U_{II} + \Delta w_{II}) I_{\kappa.\max(K1)} = \\ = 1.5 (1.0 \cdot 0.1 + 0.12 + 0.05 + 0.016) 950 = 407.16 \text{ (A)}$$

де $\Delta w_{II} = \frac{27.56 - 28}{27.56} = 0.016$

Число витків гальмівної обмотки знаходиться по виразу:

$$w_{mopm} = \frac{k_3 I_{\text{нб.расч}} w_{рабн}}{I_{\kappa.\max(K1)} \operatorname{tg} \alpha} = \frac{1.5 \cdot 407.16 \cdot 28}{950 \cdot 0.75} = 24$$

Таким чином, до установки на реле приймаються наступні витки:

$$w_I = 33, w_{II} = 28, w_{III} = 21 \text{ і } w_{mopm} = 24.$$

Чутливість захисту визначається приблизно по первинних струмах при розрахунковому КЗ на стороні НН для випадків мінімального й нормального регулювання трансформатора

$$k_u = \frac{300}{186.6} = 1.61 \text{ і } k_u = \frac{375.9}{186.6} = 2.01$$

де $I_{c.3} = 186.6 \text{ (A)}$ – фактичний струм спрацьовування захисту, при $I_{c.p} = 4.88 \text{ (A)}$.

Оскільки коефіцієнт чутливості захисту при нормальному регулюванні напруги практично відповідає нормованому, а при мінімальному регулюванні досить високий, то захист із реле ДЗТ-11 рекомендується до установки. Необхідно відзначити, що включення гальмівної обмотки на суму вторинних струмів сторін

Змн.	Арк.	№ докум.	Підпис	Дата	БР 5.6.141.745 П3	Аркуш
						58

СН і НН дозволяє вибирати струм спрацьовування за умовою За і забезпечити $k_{\eta} \geq 2$ у всіх режимах.

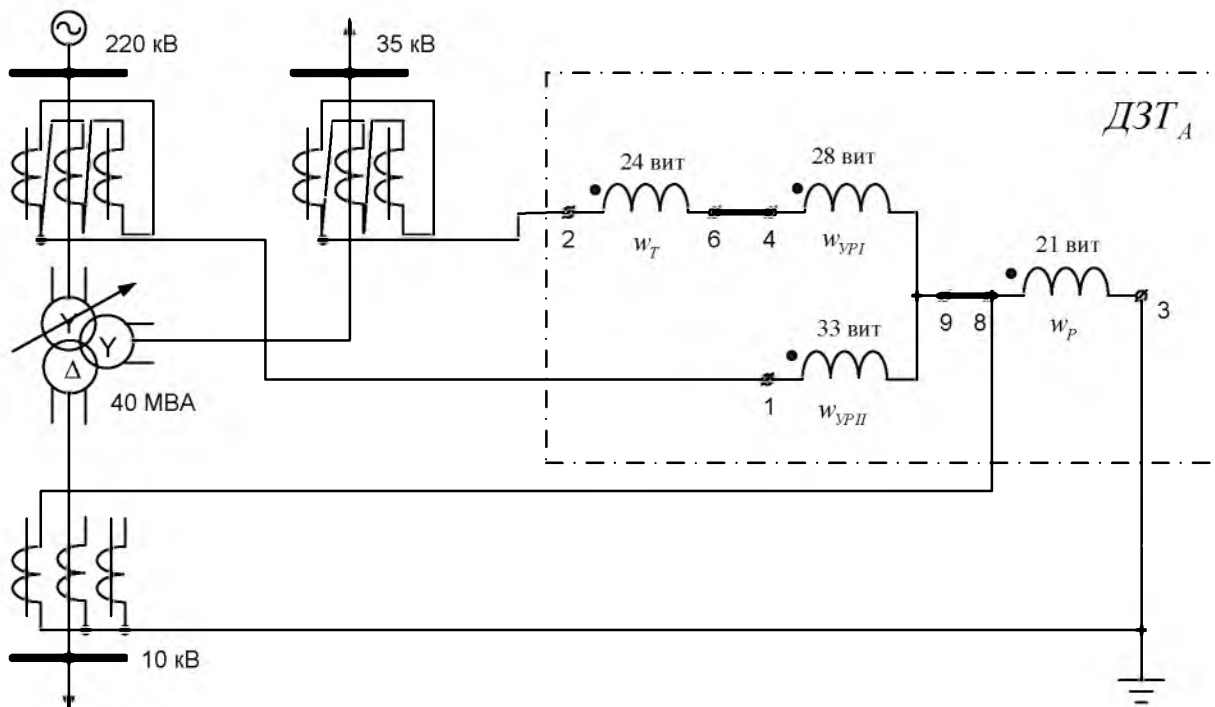


Рисунок 3.2 – Схема включення обмоток реле типу ДЗТ-11 у диференціальному захисті трьохобмоткового трансформатора

3.5 Розрахунок максимального струмового захисту з комбінованим пуском по напрузі

Для трьохобмоткових трансформаторів з однобічним живленням у якості резервного захисту рекомендується установка на стороні живлення МТЗ із пуском або без пуску по напрузі.

Спочатку визначається струм спрацьовування МТЗ без пуску по напрузі:

$$I_{c.z} = \frac{k_3}{k_c} k_c I_{\text{нар.макс}} = \frac{1,2}{0,8} \cdot 2,5 \cdot 100,5 = 377 \text{ (A)}$$

Змн.	Арк.	№ докум.	Підпис	Дата

Чутливість захисту перевіримо при КЗ на шинах СН і НН у мінімальних розрахункових режимах:

$$k_u = \frac{510}{377} = 1.35 \text{ і } k_u = \frac{300}{377} = 0.8$$

Оскільки чутливість МТЗ без пуску по напрузі виявляється недостатньою, застосуємо блокування по напрузі зі сторін СН і НН трансформатора. У цьому випадку струм спрацьовування захисту, визначений рівнянням дорівнює

$$I_{c.3} = \frac{k_3}{k_e} I_{nom} = \frac{1,2}{0,8} \cdot 100,5 = 150,8(A),$$

а чутливість захисту в тих же розрахункових точках складе:

$$k_u = \frac{510}{150,8} = 3,4 \text{ і } k_u = \frac{300}{150,8} = 2$$

Напругу спрацьовування органу блокування при симетричних КЗ визначимо приблизно по виразу:

$$U_{c.3} \leq \frac{U_{c.\min}}{k_e} = \frac{0,7 \cdot 230}{1,2} = 134,2 (\text{kV})$$

Напруга спрацьовування органу блокування при несиметричних КЗ визначається по

$$U_{2c.3} = 0,06 U_{nom} = 0,06 \cdot 230 = 13,8 (\text{kV})$$

Чутливість блокувальних органів перевіряється при КЗ на прийомних

Змн.	Арк.	№ докум.	Підпис	Дата	БР 5.6.141.745 П3	Аркуш
						60

сторонах трансформатора, куди й підключені блокувальні реле, тобто $U_{\text{к.зах}}^{(3)} = 0$, а

$$U_{2\text{к.зах}} = \frac{U_\phi}{2} = \frac{230}{2 \cdot \sqrt{3}} = 66,47 \text{ (кВ).}$$

Тоді

$$k_{qU} = \frac{U_{c.3}}{U_{\text{к.макс}}} = \frac{134,2}{0} > 1,5$$

$$k_{qU} = \frac{U_{2\text{к.зах}}}{U_{2c.3}} = \frac{66,47}{13,8} = 4,82 > 1,5$$

Оскільки при КЗ на прийомних сторонах трансформатора $k_q > 1,5$, то диференціальні захисти шин на цих сторонах можна не встановлювати.

Струм спрацьовування захисту від симетричного перевантаження, що діє на сигнал, визначається за умовою відбудування від номінального струму трансформатора на стороні, де встановлений захист, по виразу

$$I_{c.3} = \frac{k_3}{k_e} I_{m.\text{ном}} = \frac{1,05}{0,8} 100,5 = 131,9 \text{ (А)}$$

Витримки часу МТЗ узгоджуються з витримками часу захистів ліній на сторонах СН і НН.

Змн.	Арк.	№ докум.	Підпис	Дата

БР 5.6.141.745 П3

Аркуш

61

4. РОЗРАХУНОК ЗОН ЗАХИСТУ СТРИЖНЕВИХ БЛИСКАВКОВІДВОДІВ ВРП

В бакалаврській роботі необхідно розрахувати висоту і зону захисту блискавковідводів ВРП-220 кВ, встановлених на двох порталах, рис. 4.1 (поз. 1 і 2), і двох блискавковідводів, що стоять окремо, зазначених на рис. 4.1 (поз. 3 і 4), вважаючи, що блискавковідводи розташовані симетрично по відношенню до вузької сторони ВРП. Надійність зони захисту від уражень блискавки $P_z = 0,999$.

Накреслити горизонтальний перетин зони захисту блискавковідводів ВРП на висоті h_x .

Параметри розміщення блискавковідводів по площині ВРП наведені в табл. 4.1.

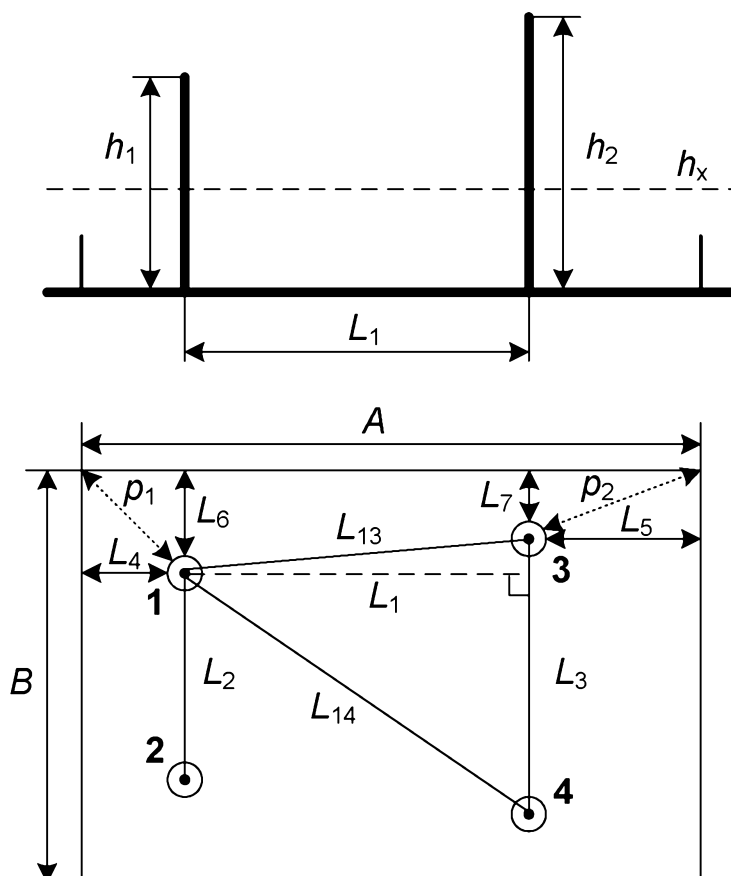


Рисунок 4.1 – Схема розміщення стрижневих блискавковідводів ВРП-220 кВ

Змн.	Арк.	№ докум.	Підпис	Дата

Таблиця 4.1 – Розрахункові параметри

A, м	B, м	L1, м	L2, м	L3, м	L4, м	L5, м	h_x , м
46	40	30	18	32	8	8	7

1. Визначаємо відстані L_6 та L_7 :

$$L_6 = \frac{B - L_2}{2} = \frac{40 - 18}{2} = 11 \text{ м};$$

$$L_7 = \frac{B - L_3}{2} = \frac{40 - 32}{2} = 4 \text{ м.}$$

2. Визначаємо відстані p_1 та p_2 :

$$p_1 = \sqrt{L_4^2 + L_6^2} = \sqrt{8^2 + 11^2} = 13,60 \text{ м};$$

$$p_2 = \sqrt{L_5^2 + L_7^2} = \sqrt{8^2 + 4^2} = 8,94 \text{ м.}$$

3. Зона захисту подвійного стрижневого блискавковідводу складається з зовнішніх областей зони захисту (напівконусів з габаритами h_0 , r_0), що виконуються за формулами для одиничних стрижневих блискавковідводів. Розміри внутрішніх областей визначаються параметрами h_0 і h_c , перший з яких задає максимальну висоту зони безпосередньо біля блискавковідводів, а другий – мінімальну висоту зони посередині між блискавковідводами.

Зона захисту одиничного стрижневого блискавковідводу висотою $h \leq 30 \text{ м}$ при надійності захисту $P_s = 0.999$, визначається рівняннями:

$$\begin{cases} h_{0n} = 0,7h_n \\ r_{xn} = \frac{r_{0n} \cdot (h_{0n} - h_x)}{h_{0n}} \\ r_{0n} = 0,6 \cdot h_n \end{cases}.$$

Змн.	Арк.	№ докум.	Підпис	Дата

БР 5.6.141.745 П3

Аркуш

63

Розраховуємо висоти блискавковідводів 1 та 2 виходячи з умови створення ними зони захисту на висоті h_x до кутів ВРП:

$$\begin{cases} h_{01} = 0,7h_l \\ r_{x1} = \frac{r_{01} \cdot (h_{01} - h_x)}{h_{01}}, \text{ при } r_{x1} = p_1 \\ r_{01} = 0,6 \cdot h_l \end{cases}$$

Шляхом математичних перетворень отримаємо рівняння відносно шуканої величини h_l :

$$p_1 = \frac{0,6h_l \cdot (0,7h_l - h_x)}{0,7h_l};$$

$$0,42h_l^2 - (0,7p_1 + 0,6h_x)h_l = 0;$$

$$h_l = 0; \quad h_l = 32,67 \text{ м.}$$

Висота блискавковідводів $h_1 = h_2 = 32,67$ м, не задовольняє умові застосування рівнянь при $h \leq 30$ м, тому для розрахунку висоти блискавковідводів застосовуємо наступні рівняння:

$$\begin{cases} h_{01} = [0,7 - 7,14 \cdot 10^{-4}(h - 30)]h_l; \\ r_{x1} = \frac{r_{01} \cdot (h_{01} - h_x)}{h_{01}}, \quad \text{при } r_{x1} = p_1 \\ r_{01} = [0,6 - 1,43 \cdot 10^{-3}(h - 30)]h_l; \end{cases}$$

Шляхом математичних перетворень розв'язуємо цю систему та знаходимо значення висоти 1 блискавковідводу $h_1 = 32,85$ м, що задовольняє умові застосування рівнянь при $30 < h \leq 100$ м.

Остаточно приймаємо блискавковідводи 1 та 2 висотою $h_1 = h_2 = 32,85$ м.

Розраховуємо висоти блискавковідводів 3 та 4 виходячи з умови створення

Змн.	Арк.	№ докум.	Підпис	Дата	БР 5.6.141.745 П3	Аркуш
						64

ними зони захисту на висоті h_x до кутів ВРП:

$$\begin{cases} h_{03} = 0,7h_3 \\ r_{x3} = \frac{r_{03} \cdot (h_{03} - h_x)}{h_{03}}, \text{ при } r_{x3} = p_2; \\ r_{03} = 0,6 \cdot h_3 \end{cases}$$

Шляхом математичних перетворень отримаємо рівняння відносно шуканої величини h_3 :

$$p_2 = \frac{0,6h_3 \cdot (0,7h_3 - h_x)}{0,7h_3},$$

$$0,42h_3^2 - (0,7p_2 + 0,6h_x)h_3 = 0;$$

$$h_3 = 0; \quad h_3 = 24,91 \text{ м.}$$

Остаточно приймаємо блискавковідводи 3 та 4 висотою $h_3 = h_4 = 24,91 \text{ м}$, так як вона задовільняє умові застосування рівнянь при $h \leq 30 \text{ м}$.

4. Розраховуємо параметри зони захисту блискавковідводів 1 та 2:

$$L_{12} = L_2 = 18 \text{ м};$$

$$r_{01} = r_{02} = 0,6 \cdot h_l = 19,58 \text{ м};$$

$$h_{01} = h_{02} = 0,7 \cdot h_l = 22,93 \text{ м};$$

$$r_{x1} = r_{x2} = \frac{r_{01} \cdot (h_{01} - h_x)}{h_{01}} = 13,60 \text{ м};$$

$$L_{c12} = [2,25 - 0,01007(h_l - 30)]h_l = 72,97 \text{ м};$$

$$L_{\max 12} = [4,25 - 3,57 \cdot 10^{-3}(h_l - 30)]h_l = 139,28 \text{ м};$$

$$\begin{cases} h_{c12} = h_{01} = 22,93 \text{ м}, & L_{12} \leq L_{c12} \\ r_{cx12} = \frac{r_{01}(h_{c12} - h_x)}{h_{c12}} = 13,60 \text{ м}, & h_x < h_{c12} \end{cases}$$

Змн.	Арк.	№ докум.	Підпис	Дата

БР 5.6.141.745 П3

Аркуш

5. Розраховуємо параметри зони захисту блискавковідводів 3 та 4:

$$L_{34} = L_3 = 32 \text{ м};$$

$$r_{03} = r_{04} = 0,6 \cdot h_3 = 14,95 \text{ м};$$

$$h_{03} = h_{04} = 0,7 \cdot h_3 = 17,44 \text{ м};$$

$$r_{x3} = r_{x4} = \frac{r_{03} \cdot (h_{03} - h_x)}{h_{03}} = 8,95 \text{ м};$$

$$L_{c34} = 2,25 \cdot h_3 = 56,05 \text{ м};$$

$$L_{\max 34} = 4,25 \cdot h_3 = 105,87 \text{ м};$$

$$\begin{cases} h_{c34} = h_{03} = 17,44 \text{ м}, & L_{34} < L_{c34} \\ r_{cx34} = \frac{r_{03}(h_{c34} - h_x)}{h_{c34}} = 8,95 \text{ м}, & h_x < h_{c34} \end{cases}$$

6. Розраховуємо параметри зони захисту блискавковідводів 1 та 3 (2 та 4):

$$L_{13} = \sqrt{(L_1)^2 + \left(\frac{L_3 - L_2}{2} \right)^2} = 30,81 \text{ м};$$

6.1 Блискавковідводи 1 та 3 мають висоту $h_1 = 32,85 \text{ м}$

$$L_{c13} = 2,25 \cdot h_1 = 72,97 \text{ м};$$

$$L_{\max 13} = 4,25 \cdot h_1 = 139,28 \text{ м};$$

$$h_{c13} = h_{01} = 22,93 \text{ м}, \quad L_{13} \leq L_{c13}$$

6.2 Блискавковідводи 1 та 3 мають висоту $h_3 = 24,91 \text{ м}$

$$L_{c31} = 2,25 \cdot h_3 = 56,05 \text{ м};$$

$$L_{\max 31} = 4,25 \cdot h_3 = 105,87 \text{ м};$$

Змн.	Арк.	№ докум.	Підпис	Дата	БР 5.6.141.745 П3	Аркуш
						66

$$h_{c31} = h_{03} = 17.44 \text{ м}, \quad L_{13} \leq L_{c31}$$

$$\begin{cases} h_{c\min 13} = \frac{h_{c13} + h_{c31}}{2} = 20.18 \text{ м}, \\ r_{c013} = \frac{r_{01} + r_{03}}{2} = 17.26 \text{ м}, \\ r_{cx13} = \frac{r_{c013}(h_{c\min 13} - h_x)}{h_{c\min 13}} = 11.27 \text{ м}. \end{cases}$$

7. Розраховуємо параметри зони захисту блискавковідводів 1 та 4 (2 та 3):

$$L_{14} = \sqrt{(L_1)^2 + \left(L_2 + \frac{L_3 - L_2}{2} \right)^2} = 39.05 \text{ м};$$

7.1 Блискавковідводи 1 та 4 мають висоту $h_l = 32,85 \text{ м}$

$$L_{c14} = 2,25 \cdot h_l = 72,97 \text{ м};$$

$$L_{\max 14} = 4,25 \cdot h_l = 139,28 \text{ м};$$

$$h_{c14} = h_{01} = 22.93 \text{ м}, \quad L_{14} \leq L_{c14}$$

7.2 Блискавковідводи 1 та 4 мають висоту $h_4 = 24,91 \text{ м}$

$$L_{c41} = 2,25 \cdot h_4 = 56,05 \text{ м};$$

$$L_{\max 41} = 4,25 \cdot h_4 = 105,87 \text{ м};$$

$$h_{c41} = h_{04} = 17.44 \text{ м}, \quad L_{14} \leq L_{c41}$$

$$\begin{cases} h_{c\min 14} = \frac{h_{c14} + h_{c41}}{2} = 20.18 \text{ м}, \\ r_{c014} = \frac{r_{01} + r_{04}}{2} = 17.26 \text{ м}, \\ r_{cx14} = \frac{r_{c014}(h_{c\min 14} - h_x)}{h_{c\min 14}} = 11.27 \text{ м}. \end{cases}$$

Змн.	Арк.	№ докум.	Підпис	Дата

БР 5.6.141.745 П3

Аркуш

Горизонтальний переріз зони захисту показаний на рис. 4.2.

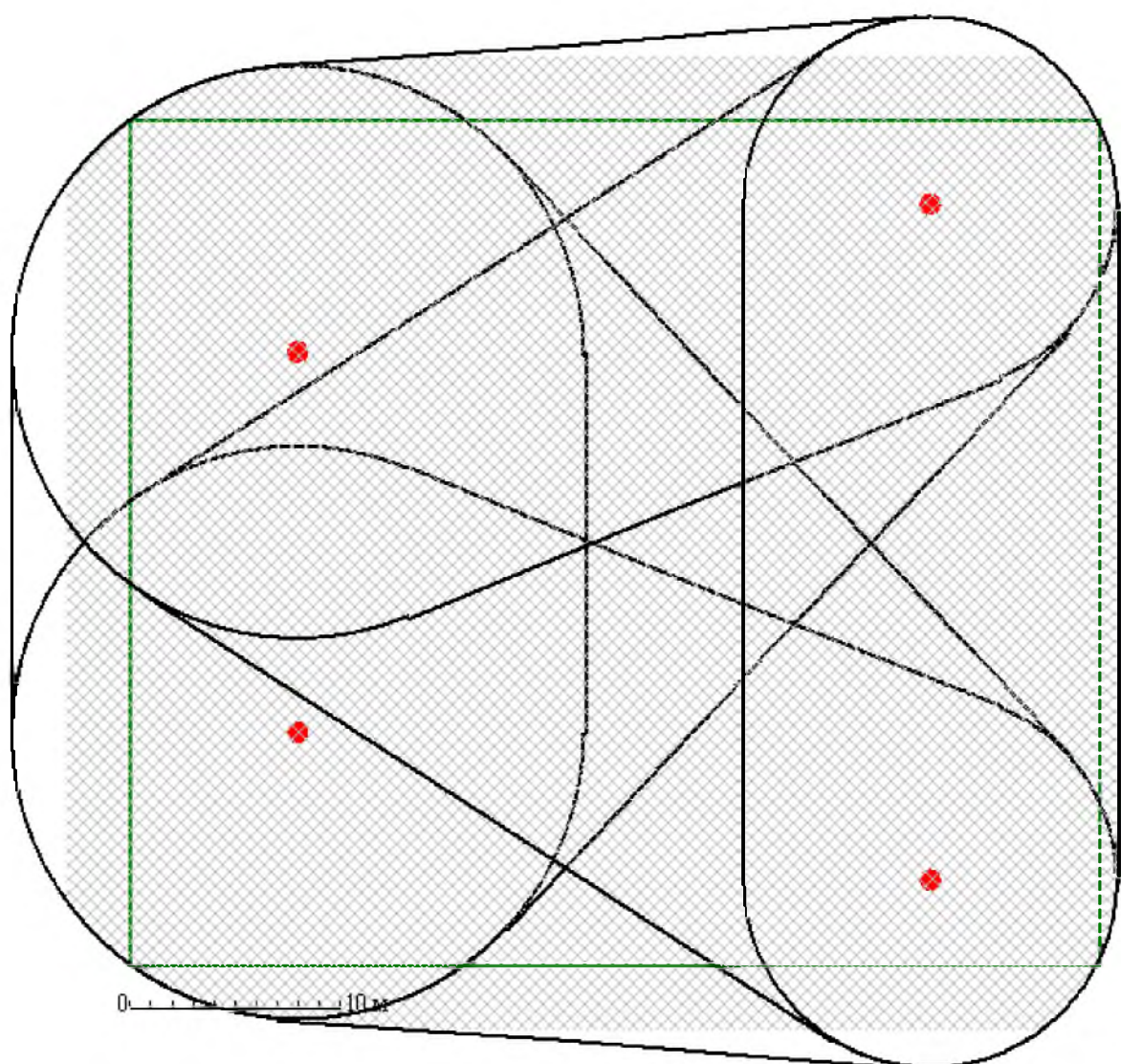


Рисунок 4.2 – Горизонтальний переріз зони захисту блискавковідводів ВРП

Змн.	Арк.	№ докум.	Підпис	Дата

БР 5.6.141.745 ПЗ

Аркуш

68

ВИСНОВКИ

У роботі зроблений розрахунок нормального та післяаварійного режиму роботи замкнутої електричної мережі, конфігурація якої була визначена завданням.

Результати розрахунків втрат потужності показали, що найбільш придатною номінальною напругою кільцевої мережі є напруга 220 кВ. З урахуванням цього були обрані відповідні перерізи проводів для ліній електропередач, а також типи трансформаторів на підстанціях.

Для існуючої конфігурації замкнутої мережі були розраховані параметри схеми заміщення ліній і трансформаторів, складена розрахункова схема заміщення мережі й визначені розрахункові навантаження вузлів мережі.

У процесі розрахунків електричної частини підстанції ПС-1 була проведена перевірка правильності вибору номінальної потужності встановлених трансформаторів і здійснений вибір на підставі розрахунків струмів короткого замикання високовольтних апаратів РП, вимірювальних трансформаторів струму й напруги.

При виконанні розрахунків релейного захисту трансформатора підстанції Т-2 був зроблений розрахунок поздовжнього диференційного струмового захисту та максимального струмового захисту з комбінованим пуском по напрузі.

Для захисту від міжфазних коротких замикань запропонований захист за допомогою реле типу ДЗТ-11, для якого був виконаний вибір уставок і розрахунок параметрів обмоток реле.

Проведений розрахунок близкавказахисту підстанції, що виконаний у вигляді стрижневих близкавковідводів.

Змн.	Арк.	№ докум.	Підпис	Дата	БР 5.6.141.745 ПЗ	Аркуш
69						

СПИСОК ЛІТЕРАТУРИ

1. Идельчик В.И. Электрические системы и сети. – Москва: Энергоатомиздат, 1989. – 592 с.
2. Справочник по проектированию электроэнергетических систем / под ред. И. М. Шапиро, С. С. Рокотяна. – Москва: Энергоатомиздат, 1986.
3. Технические сведения. Силовые трансформаторы / Под ред. И.Л. Лебединского. – Сумы: Изд-во СумДУ, 2005. – 49 с.
4. Электротехнический справочник: В 3-х т. Т. 3. Кн. 1. Производство, передача и распределение электрической энергии / Под общ. ред. В.Г. Герасимова, П.Г. Грудинского, Л.А. Жукова и др. - 6-е изд. – М.: Энергоиздат, 1988. – 656 с.
5. Васильев А.А. Электрическая часть станций и подстанций. – М.: Энергия, 1980. – 608 с.
6. Методичні вказівки до виконання курсового проекту на тему „Розрахунок замкнутої електричної мережі” з курсу „Електричні системи та мережі” / укладачі: І.Л. Лебединський, С.М. Лебедка, В.І. Романовський, В.В. Волохін. – Суми: Сумський державний університет, 2011. – 40 с.
7. Неклепаев Б.Н. Электрическая часть электростанций и подстанций. – М.: Энергоатомиздат, 1986. - 640 с.
8. Рожкова Л.Д., Козулин В.С. Электрооборудование станций и подстанций. - 3-е изд. – М.: Энергоатомиздат, 1987. – 648 с.
9. Правила улаштування електроустановок (ПУЕ). Харків: Видавництво «Форт», 2014. – 793 с.
10. Электрическая часть станций и подстанций: Учеб. для вузов / А.А. Васильев, И.П. Крючков, Е.В. Наяшкова и др. Под ред. А.А. Васильева. - 2-е изд., перераб. и доп. – М: Энергоатомиздат, 1990.
11. Шабад М.А. Расчеты релейной защиты и автоматики распределительных сетей. -М.: Энергоатомиздат, 1985.

Змн.	Арк.	№ докум.	Підпис	Дата	БР 5.6.141.745 П3	Аркуш
						70

12. Учебное пособие для студентов, обучающихся по направлению «Электротехника», по курсу «Основы релейной защиты электрических систем». Часть III. Расчет защит трансформаторов и автотрансформаторов. Мариуполь: ПГТУ, 2001.

13. Техника высоких напряжений / Под ред. Г.С. Кучинского. – СПб.: Энергоатомиздат, 2003.

14. Методичні вказівки та завдання до розрахунково-графічних робіт з курсу «Грозозахист і перенапруга у електричних мережах» / укладач М.В. Петровський. – Суми: Сумський державний університет, 2011. – 40 с.

15. ДСТУ Б В.2.5-38:2008 Улаштування блискавкозахисту будівель і споруд. – Київ: Мінрегіонбуд України. – 2008.

16. 2068 Методичні вказівки до оформлення дипломних робіт: для студ. спец. 7.090603 денної та заочної форм навчання / М.А. Никифоров, І.Л. Лебединський. – Суми: СумДУ, 2008. – 72 с.

Змн.	Арк.	№ докум.	Підпис	Дата	БР 5.6.141.745 П3	Аркуш
						71